

# スーパーBファクトリーで 探る新しい素粒子像

— フレーバー混合、CPの破れの物理 —

田中 実 (理学研究科)

物理談話会

大阪大学理学部D501、2011/12/02

# はじめに

# 素粒子の標準模型(Standard Model, SM)

ゲージ粒子

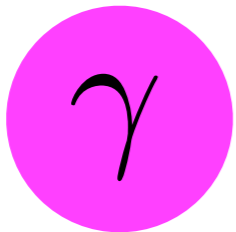
物質粒子

第1世代 第2世代 第3世代

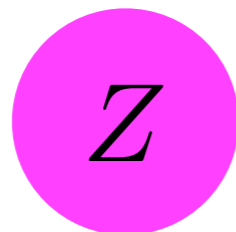
強い相互作用



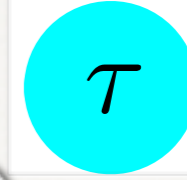
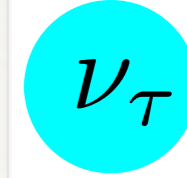
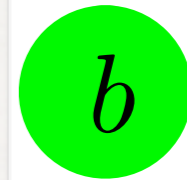
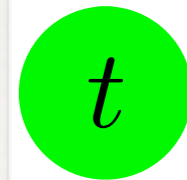
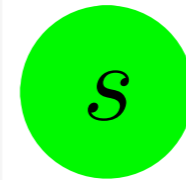
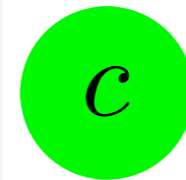
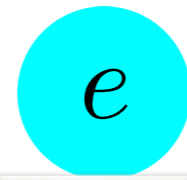
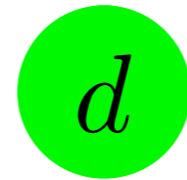
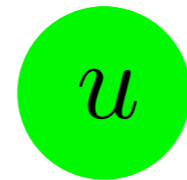
電磁相互作用



弱い相互作用



クォーク  
レプトン



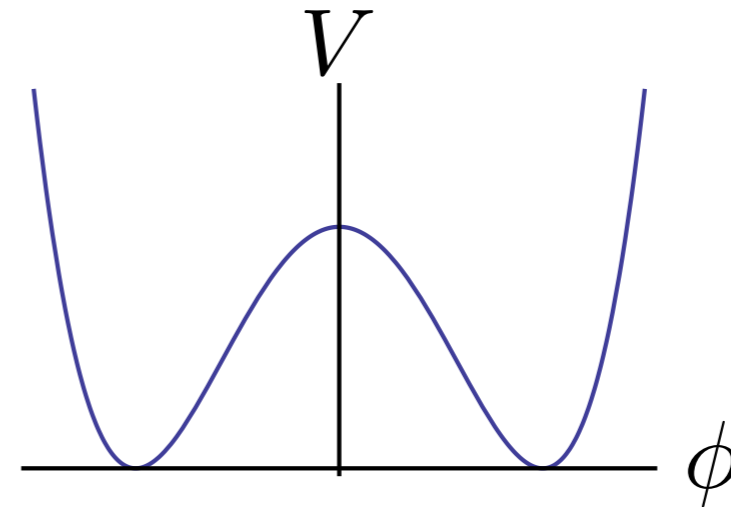
ヒッグス粒子



# 問題点、疑問点

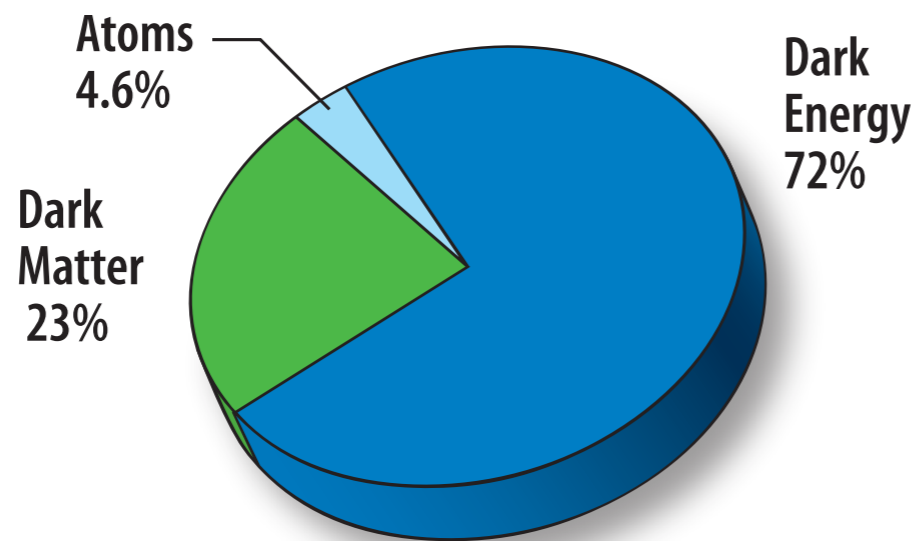
電弱対称性の破れ

ヒッグス機構  
未発見



CERN LHCで探索中

ダークマター、ダークエネルギー



SMにDMの候補なし

<http://map.gsfc.nasa.gov/>



# 宇宙のバリオン数

バリオン数 = 0  $\Rightarrow$  バリオン数  $\neq$  0

## サハロフの3条件



1. バリオン数非保存
2. CおよびCPの破れ
3. 非平衡

標準模型では

1. スファレロン過程
2. 小林・益川機構 CPの破れが小さい
3. 電弱相転移 平衡からのずれが小さい



標準模型を越える新しい物理

# B summer workshop, 梶池, September 1993

1993-9-5 梶池

宇宙のバリオン密度

$$\frac{n_B}{s} \approx (6 \sim 10) \times 10^{-11} \quad (N_\nu = 3)$$

元素合成  $\rightarrow \eta = \frac{n_B}{n_\gamma} = (4 \sim 7) \times 10^{-10} \quad (N_\nu = 3)$

$$s = \frac{2\pi^2}{45} g_{*s} T^3$$

$$n_\gamma = \frac{27(3)}{\pi^2} T^3$$

$$N_\nu = 3 \Rightarrow \begin{cases} g_{*s} \approx 4 \\ s \approx 7 n_\gamma \end{cases}$$

## Baryogenesis

小林 誠 (KEK)

問題は

- fluctuation とは考之にくい
- 初期値?  $\rightarrow$  fine tuning, 特に inflation があて

$\Rightarrow$  バリオン生成

サハロフ (Sakharov) の 3 条件

- B
  - C and CP
  - 非平衡
- 熱平衡で  $B \leftrightarrow \bar{B}$  があてとすと

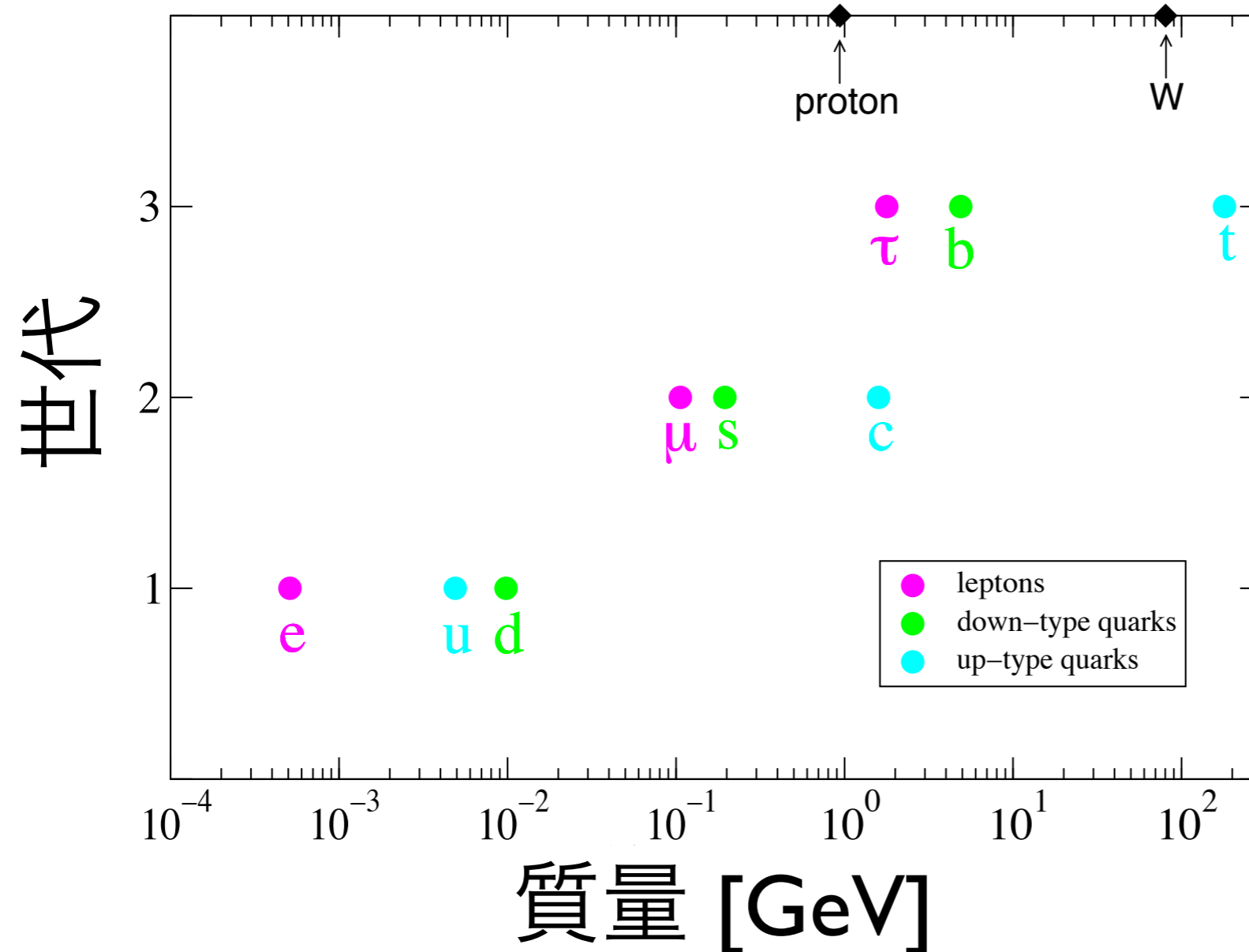
$$\mu_B = \mu_{\bar{B}}, T_B = T_{\bar{B}} \Rightarrow N_B = N_{\bar{B}}$$



# フレーバーの問題

3世代？ 質量パターン？ フレーバー混合？

クォーク、レプトンの質量の階層性



$$1 \text{ GeV} = 10^9 \text{ eV}$$

## 歴史(の一部)

1956: T.D. Lee, C.N. Yang (ノーベル賞1957)

パリティ(P)の破れの理論

1957: C.S. Wu et al.

パリティの破れの発見

1957: L. D. Landau

中性K中間子崩壊におけるCP保存

$$K_S \rightarrow \pi\pi, K_L \rightarrow \pi\pi\pi$$

1961: S. L. Glashow (ノーベル賞1979)

1964: J. W. Cronin, V. L. Fitch, ... (ノーベル賞1980)

中性K中間子崩壊におけるCPの破れ

$$K_L \rightarrow \pi^+ \pi^-$$

1967: A. Sakharov

バリオン数生成の3条件

1967: S. Weinberg (ノーベル賞1979)

1968: A. Salam (ノーベル賞1979)

1970: S.L. Glashow, J. Iliopoulos, L. Maiani

FCNCに基づくチャームクォークの予言

1971: G. 't Hooft (ノーベル賞1999)

ゲージ理論の繰り込み

1973: M. Kobayashi, T. Maskawa (ノーベル賞2008)

6クォーク模型

1974: S. Ting, B. Richter (ノーベル賞1976)

J/ψの発見

1975: M. L. Perl (ノーベル賞1995)

タウの発見

1977: L. Lederman

ボトム発見

1987: ARGUS

$B^0-\bar{B}^0$ 混合の発見

1989: CLEO

$b \rightarrow u$  遷移の発見

1994: CDF, D0

トップの発見

2002: Belle, BaBar (Bファクトリー実験)

B中間子崩壊におけるCPの破れの確立



# (スーパー)Bファクトリー

## B中間子

⇒  $b$  クォーク (反  $b$  クォーク) を 1 つ含んでいる中間子

$$B^+ = (\bar{b}u), B_d = (\bar{b}d), B_s = (\bar{b}s)$$

$$B^- = (b\bar{u}), \bar{B}_d = (b\bar{d}), \bar{B}_s = (b\bar{s})$$

質量 :  $m_B \sim 5.3 \text{ GeV}$ 、寿命 :  $\tau_B \sim 1.6 \text{ ps}$

## Bファクトリー

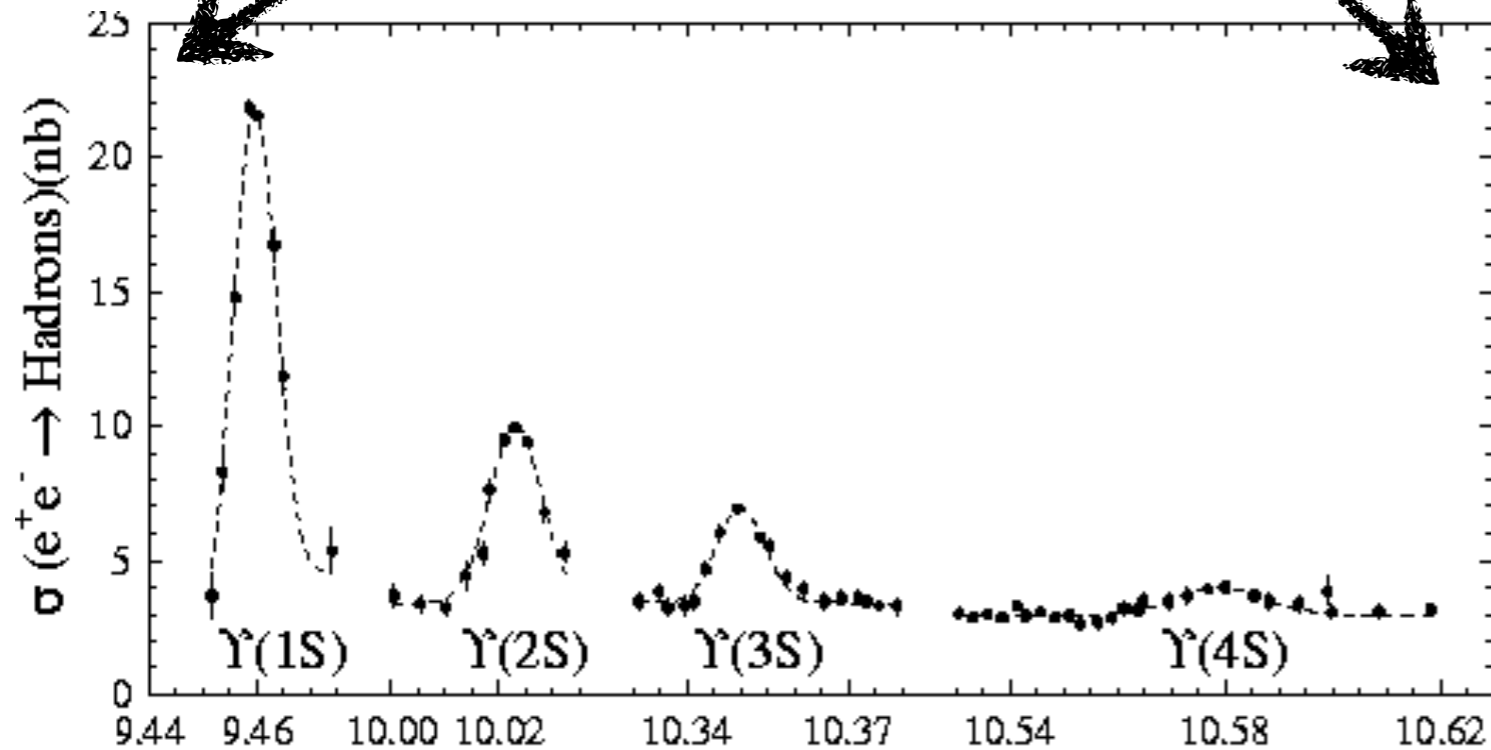
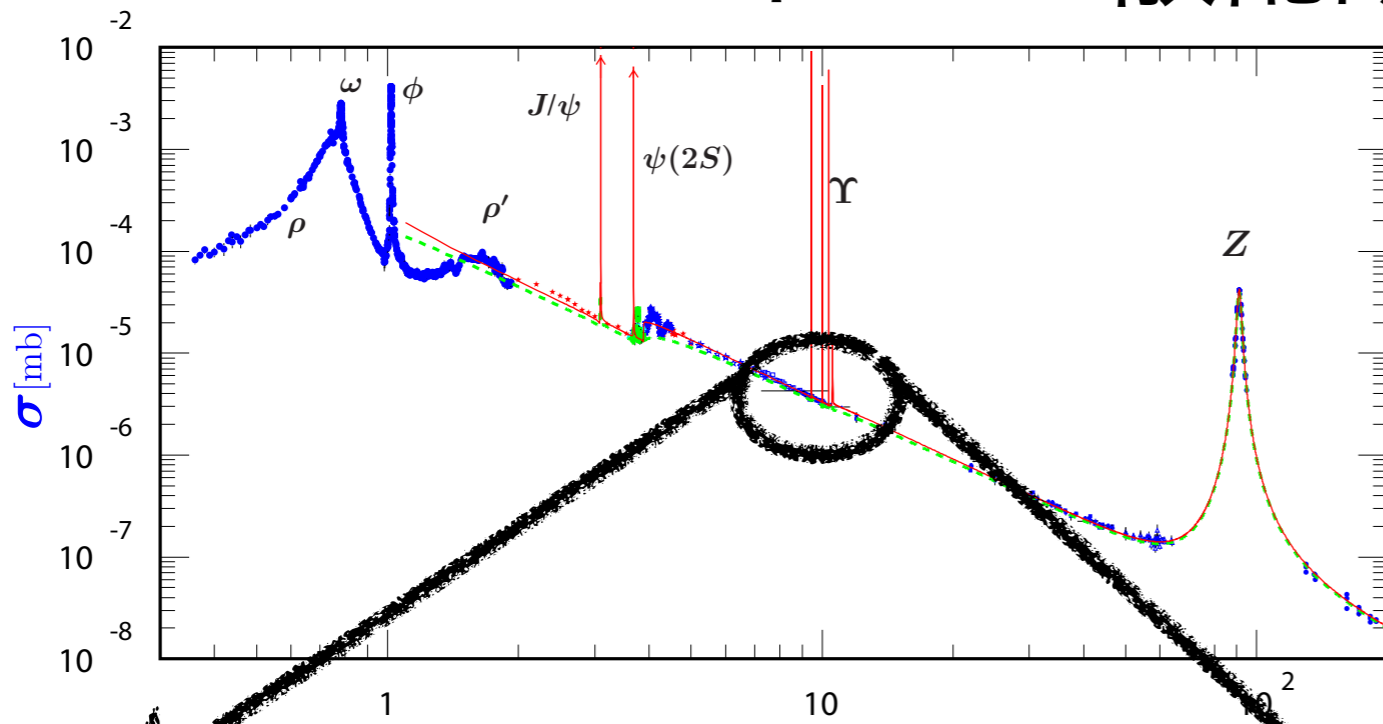
電子・陽電子衝突型加速器

KEKB/Belle (KEK, つくば)

PEP-II/BaBar (SLAC, Stanford)



# $e^+e^- \rightarrow$ ハドロン 散乱断面積



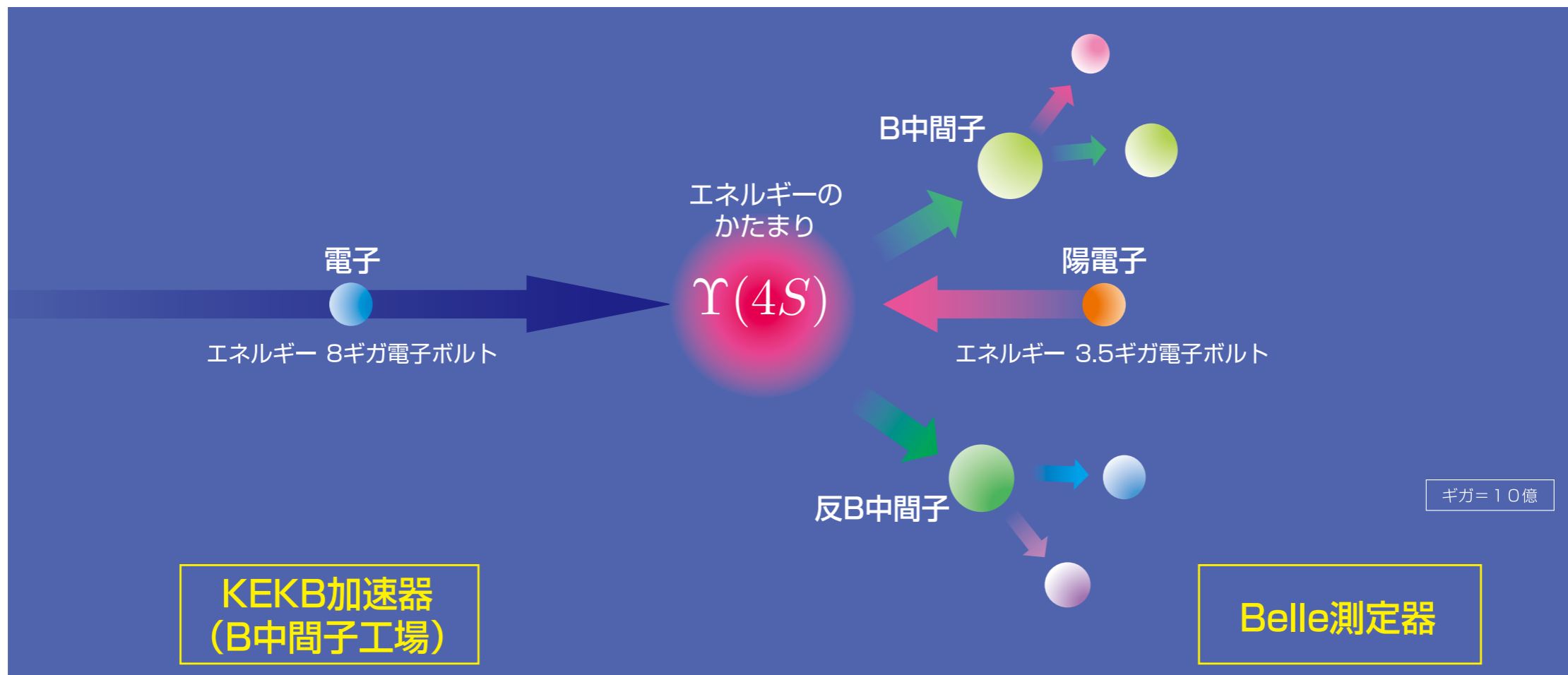
重心系エネルギー [GeV]

$\Upsilon = (\bar{b}b)$

$\Upsilon(4S)$

B中間子ペアに崩壊





電子:  $E_- = 8 \text{ GeV}$       陽電子:  $E_+ = 3.5 \text{ GeV}$

重心系エネルギー (特殊相対論, 自然単位)  
 $c = \hbar = 1$

$$\sqrt{s} = \sqrt{(E_- + E_+)^2 - (E_- - E_+)^2} = 2\sqrt{E_- E_+}$$

$$\simeq 10.58 \text{ GeV} \simeq M(\Upsilon(4S))$$

$\Upsilon(4S)$  の速度  $\beta = (E_- - E_+) / (E_- + E_+) \simeq 0.39$

## KEKB/Belleの実績 (1999/6/2—2010/6/30)

ピークルミノシティー

$$2.1 \times 10^{34} \text{cm}^{-2} \text{s}^{-1} \text{ (設計値 } 1 \times 10^{34} \text{cm}^{-2} \text{s}^{-1} \text{)}$$

積分ルミノシティー

$$1.04 \text{ab}^{-1} \qquad 1 \text{b} = 10^{-28} \text{m}^2$$

生成されたB中間子の数

$$\begin{aligned} & \text{積分ルミノシティー} \times \text{散乱断面積} \\ & \sim O(10^9) \quad \text{10億個} \end{aligned}$$

## SuperKEKB/Belle II (2015—)

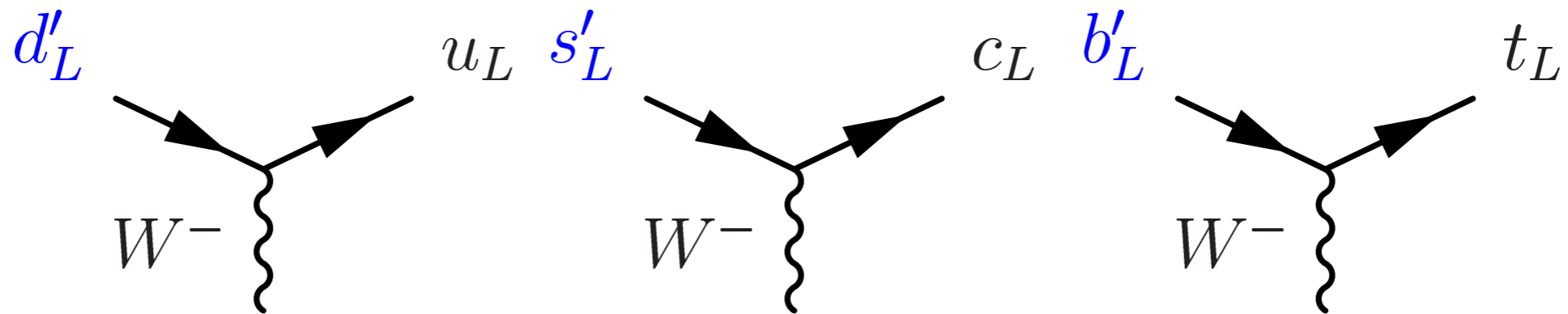
積分ルミノシティー

$$2021 \text{までに } 50 \text{ab}^{-1}$$

# クォーク混合とCPの破れ

# 荷電カレント相互作用

$W^\pm$  粒子を媒介とする弱い相互作用で、 $\beta$  崩壊を起こす。  
左巻きのクォーク・レプトンのみ。⇐ パリティ (P) の破れ



$d'_L, s'_L, b'_L$ : フレーバー (あるいはゲージ) の固有状態  
⇒ 同じ世代間での遷移のみ

フレーバーの固有状態  $\neq$  質量の固有状態 ( $d_L, s_L, b_L$ )

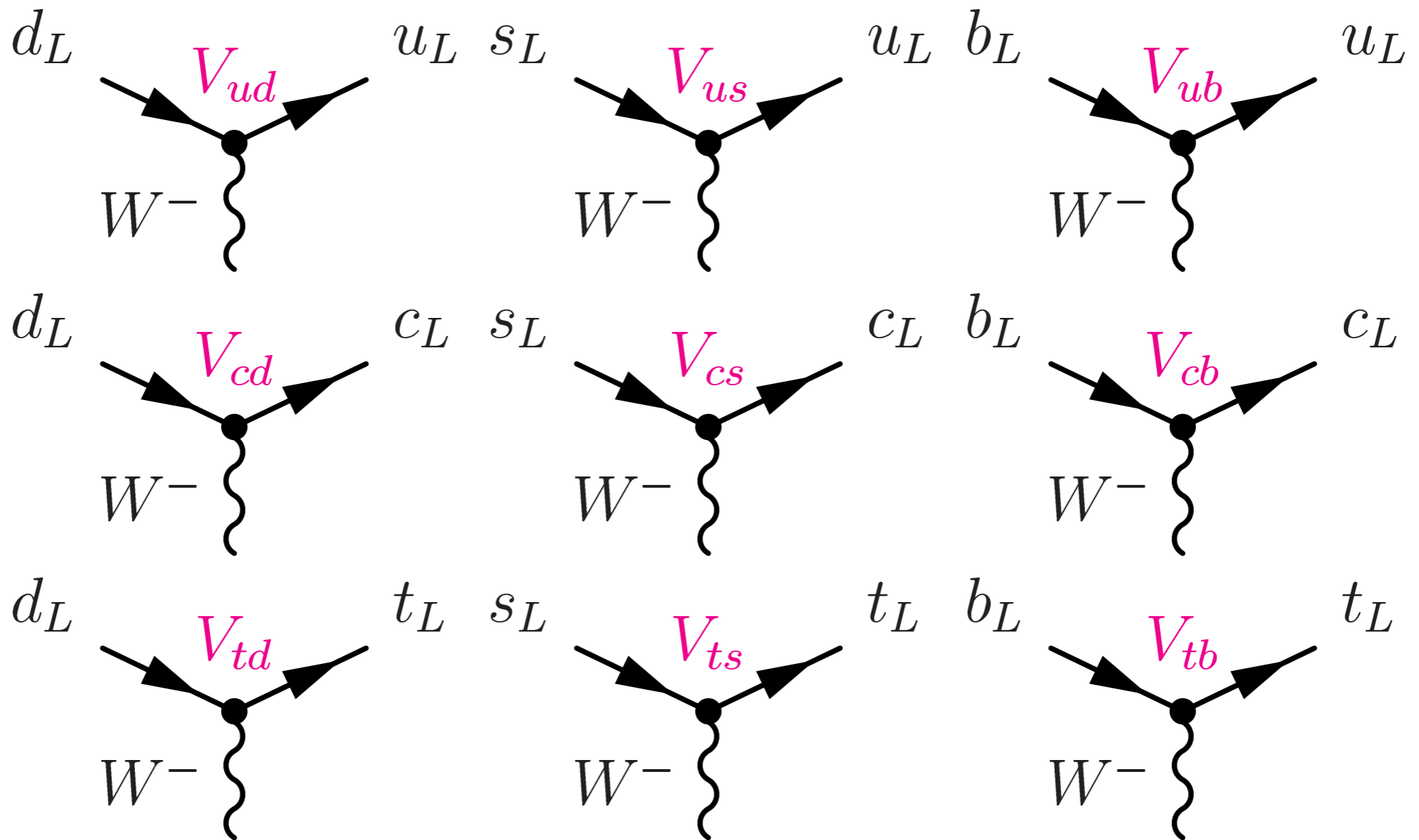
- フレーバーの固有状態と質量の固有状態の関係  
⇒ ユニタリー変換で結びつく。

$$\begin{pmatrix} d'_L \\ s'_L \\ b'_L \end{pmatrix} = V_{KM} \begin{pmatrix} d_L \\ s_L \\ b_L \end{pmatrix}$$

$V_{KM}$ :  $3 \times 3$  ユニタリー行列  $\Leftarrow$  小林・益川 (KM) 行列  
⇒ クォークの混合を表す

$$V_{KM} = \begin{pmatrix} V_{ud} & V_{us} & V_{ub} \\ V_{cd} & V_{cs} & V_{cb} \\ V_{td} & V_{ts} & V_{tb} \end{pmatrix}$$

● 質量固有状態で見えた荷電カレント相互作用

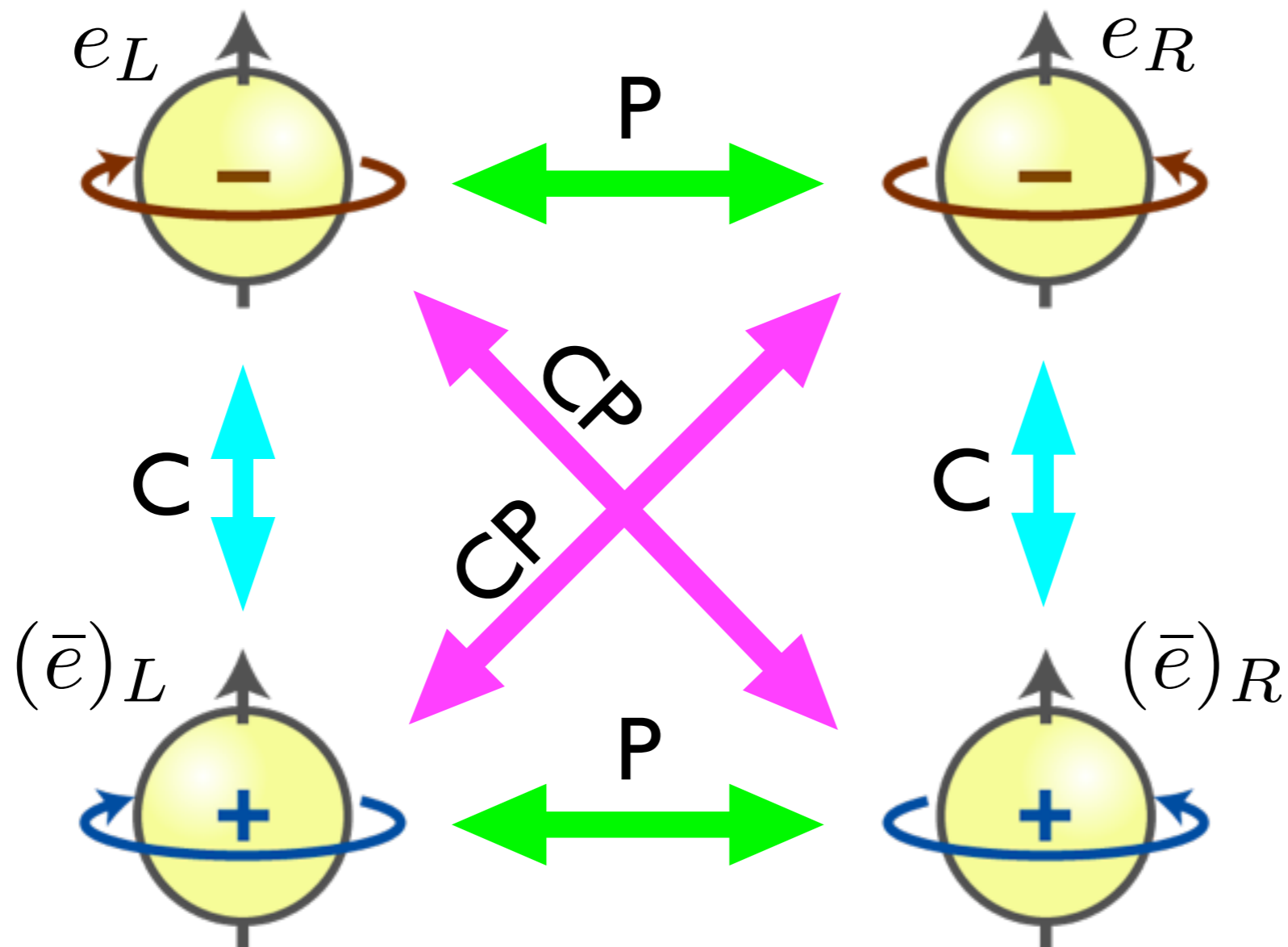


異なる世代間の遷移がある

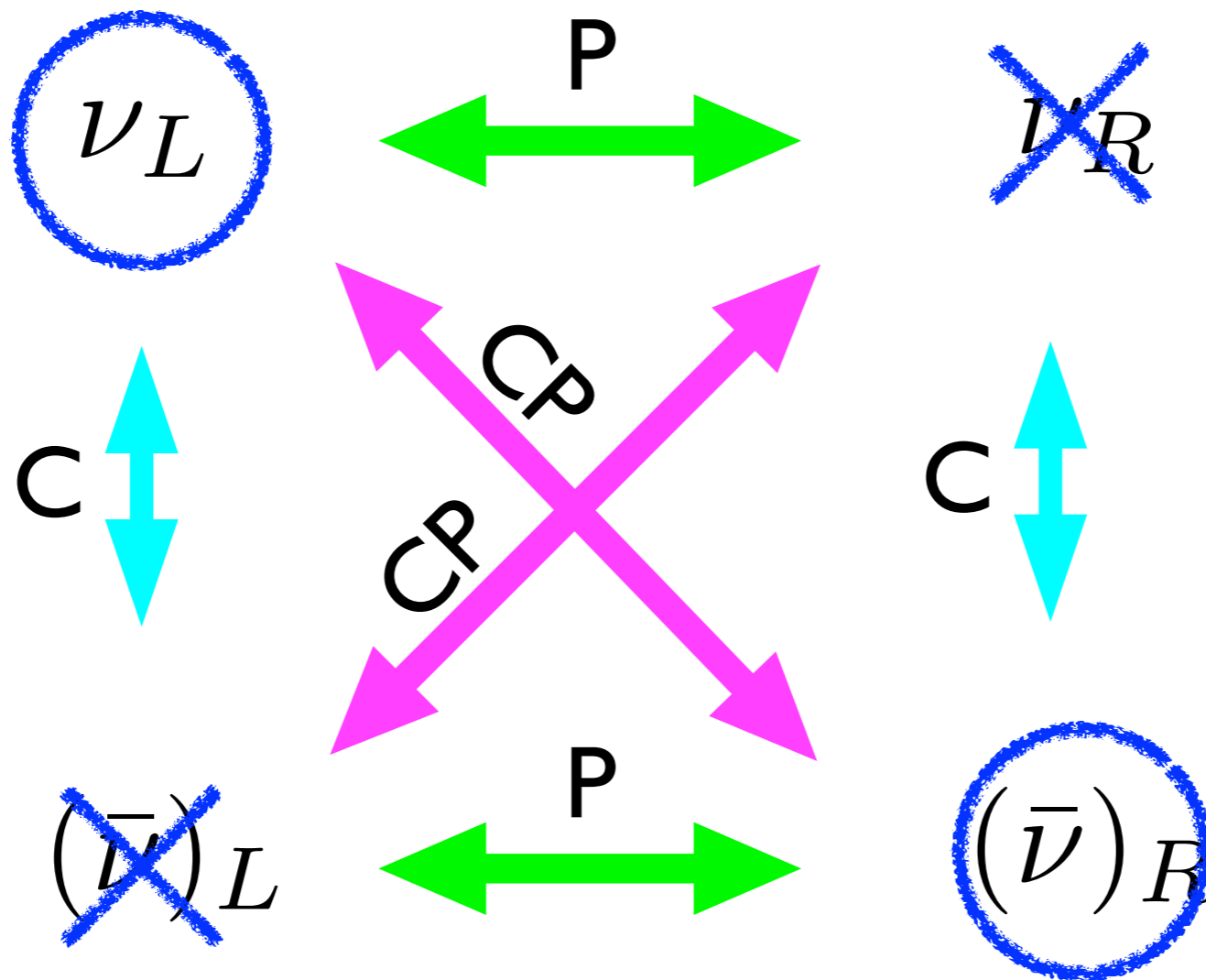
# CPの破れ

P: パリティ変換(空間反転)

C: 荷電共役変換(粒子 $\leftrightarrow$ 反粒子)



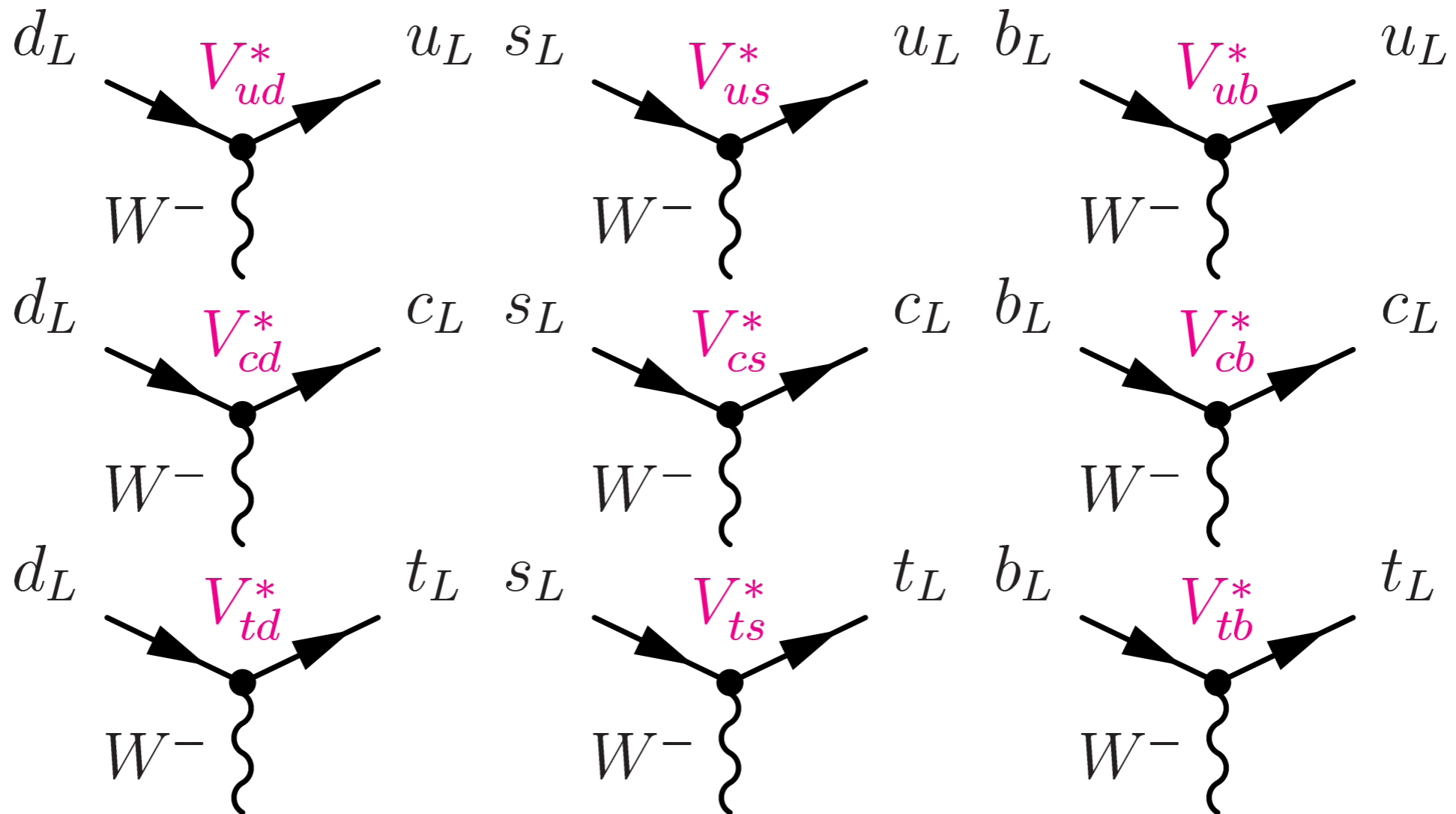
# ニュートリノの場合



CとPは破れているが、CPはOK.



- 荷電カレント相互作用を CP 変換してみると



$V_{ij} \rightarrow V_{ij}^*$  となるだけ。

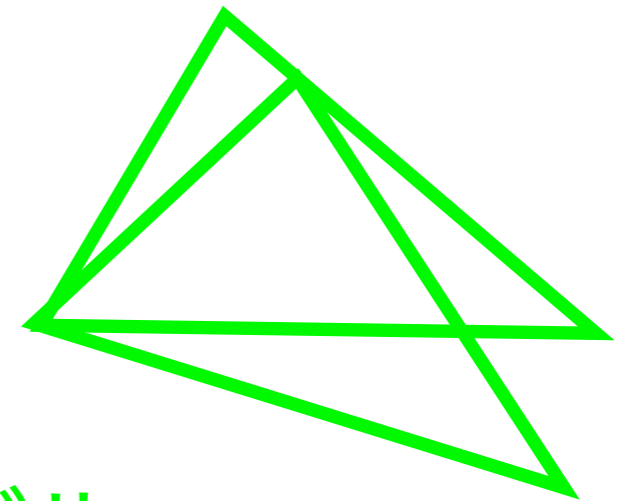
$V_{ij} = V_{ij}^*$ 、すなわち  $V_{ij}$  が実数なら CP は保存する。

# CKM行列のユニタリティー

$$i \neq j \text{ のとき, } \sum_{k=1}^3 V_{ki}^* V_{kj} = 0$$

複素平面上の三角形

ユニタリティートライアングル



三角形の形や面積は, クォークの位相に依らない.

位相の再定義は, 三角形全体の回転に対応.

$$\sum_{k=1}^3 e^{i\theta_k} V_{ki}^* e^{-i\theta_i} e^{-i\theta_k} V_{kj} e^{i\theta_j} = e^{i(\theta_j - \theta_i)} \sum_{k=1}^3 V_{ki}^* V_{kj} = 0$$

三角形がつぶれない



(クォークの位相に依らず)  
実数でない  $V_{ij}$  が存在



CPの破れ

三角形の面積 ~ CPの破れの大きさ

# N世代理論

N角形がつぶれない  $\longleftrightarrow$  CPの破れ

N=2はダメ.

N $\geq$ 3ならOK.

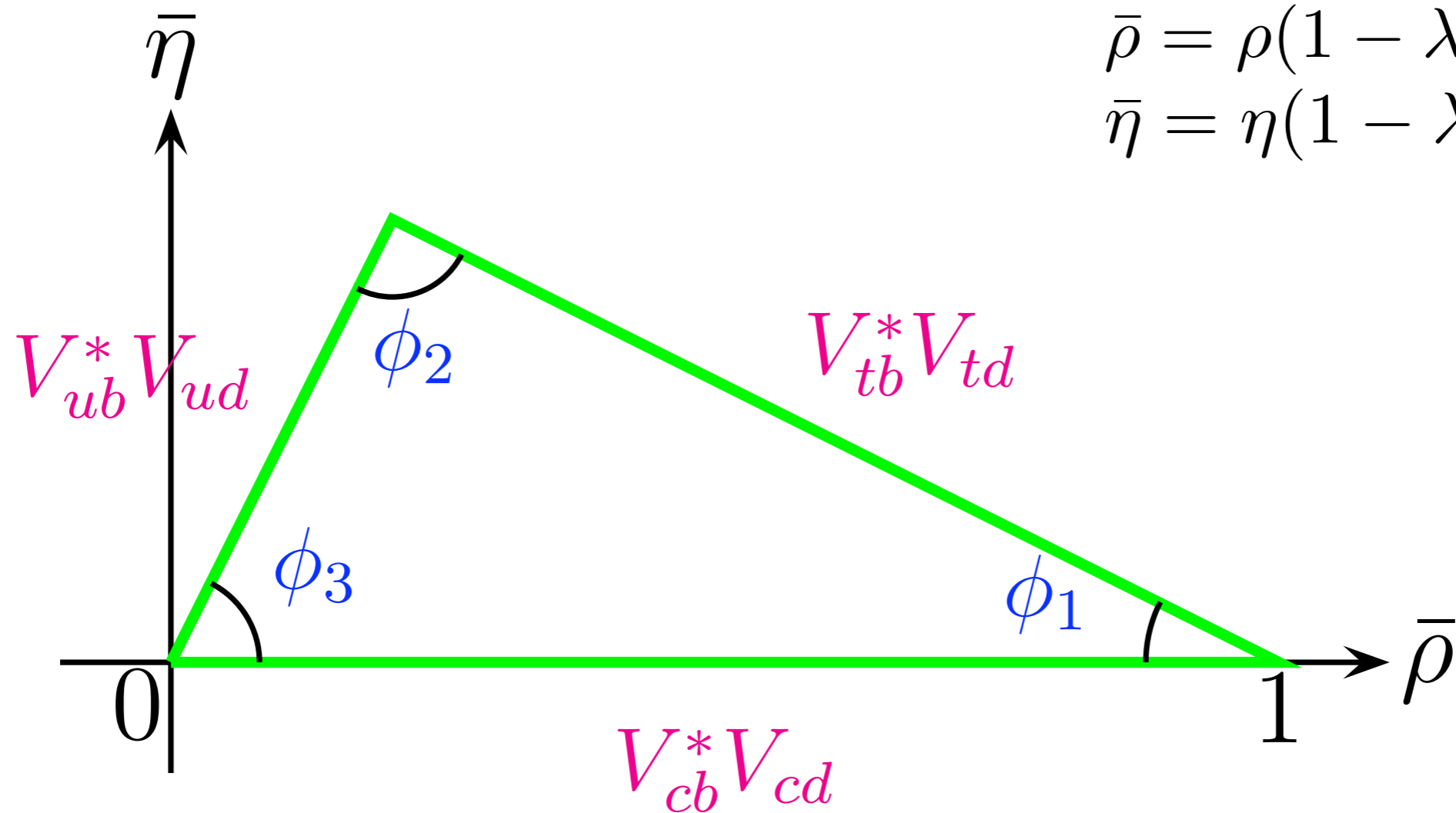
クォークは6種類以上.

小林・益川の発見.      ノーベル賞(2008)

物理的複素位相の数       $(N - 1)(N - 2)/2$

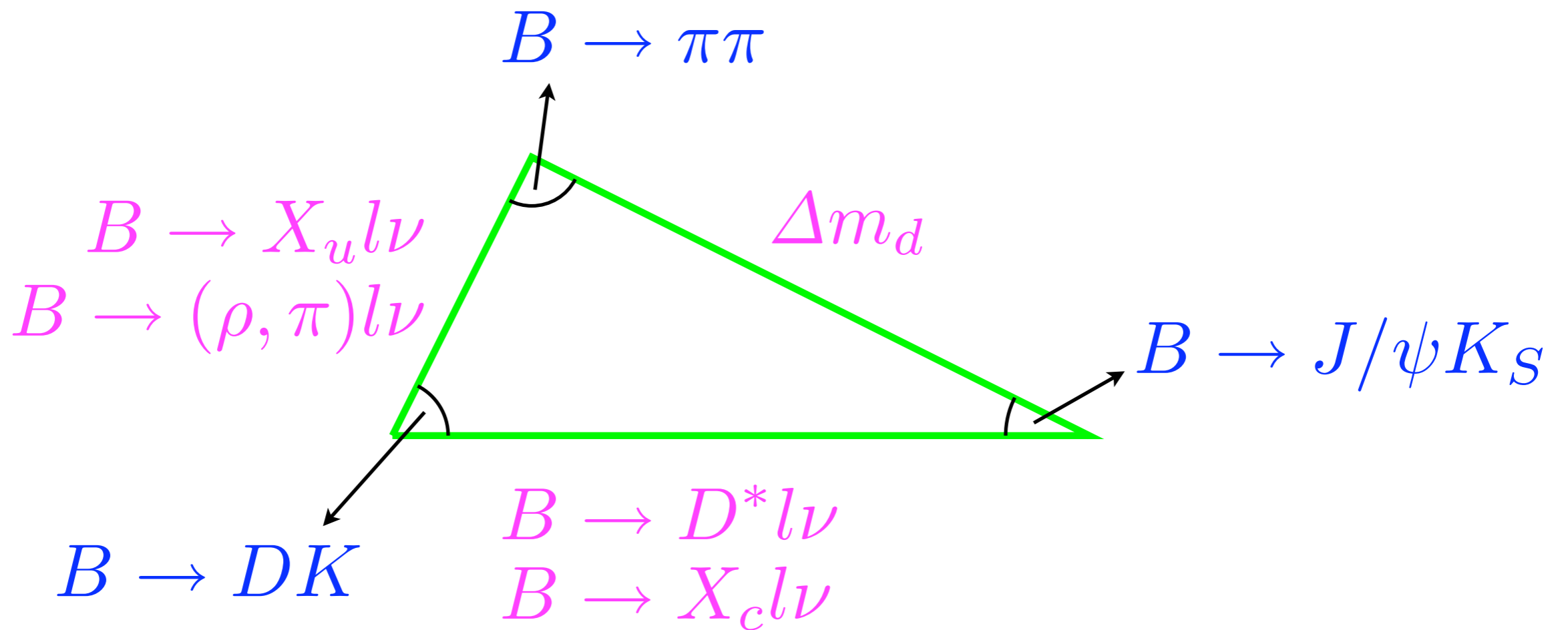
# B中間子とUT

$$V_{ub}^* V_{ud} + V_{cb}^* V_{cd} + V_{tb}^* V_{td} = 0$$



$$\bar{\rho} = \rho(1 - \lambda^2/2 + \dots)$$

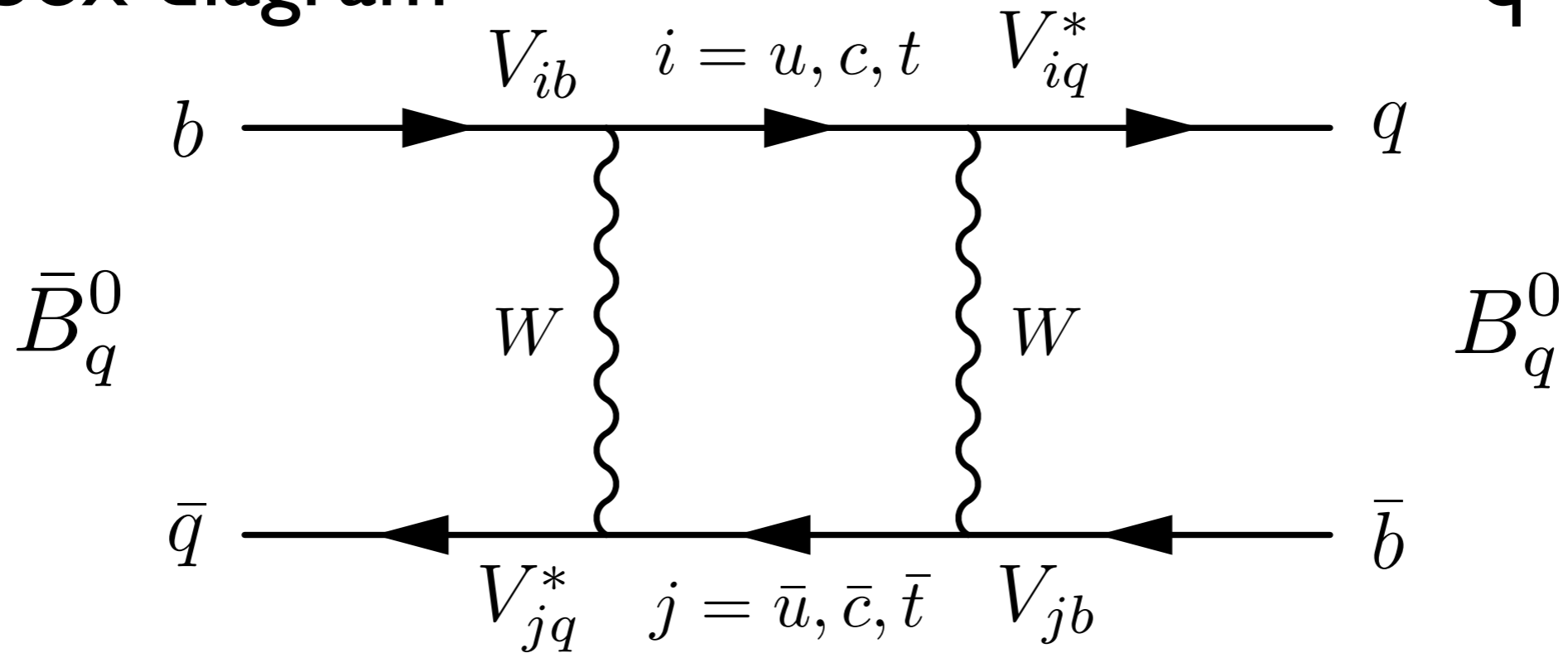
$$\bar{\eta} = \eta(1 - \lambda^2/2 + \dots)$$



# B中間子混合の量子力学

# $B^0-\bar{B}^0$ 混合

box diagram



topの寄与が支配的

$$M_{12}(B_d) \propto (V_{tb} V_{td}^*)^2$$

$$M_{12}(B_s) \propto (V_{tb} V_{ts}^*)^2$$



$B^0 \leftrightarrow \bar{B}^0$  遷移  $\Rightarrow B^0$ - $\bar{B}^0$  混合

波動関数:  $|\psi(t)\rangle = \psi_B(t)|B^0\rangle + \psi_{\bar{B}}(t)|\bar{B}^0\rangle$

$$|\psi_B(0)|^2 + |\psi_{\bar{B}}(0)|^2 = 1$$

運動方程式 (Schrödinger 方程式):

$$i \frac{d}{dt} \begin{pmatrix} \psi_B(t) \\ \psi_{\bar{B}}(t) \end{pmatrix} = \begin{pmatrix} M_{11} - \frac{i}{2}\Gamma_{11} & M_{12} - \frac{i}{2}\Gamma_{12} \\ M_{21} - \frac{i}{2}\Gamma_{21} & M_{22} - \frac{i}{2}\Gamma_{22} \end{pmatrix} \begin{pmatrix} \psi_B(t) \\ \psi_{\bar{B}}(t) \end{pmatrix}$$

$M, \Gamma: 2 \times 2$  エルミート行列

注)  $M - \frac{i}{2}\Gamma$  はエルミートでない.  $\Leftarrow B$  中間子崩壊

物理的な状態 (ハミルトニアン固有状態)

$M - \frac{i}{2}\Gamma$  の固有ベクトル:  $|B_{H,L}\rangle = p|B^0\rangle \pm q|\bar{B}^0\rangle$

H: heavy, L: light

$$\frac{q}{p} = \frac{\sqrt{(M_{12} - \frac{i}{2}\Gamma_{12})(M_{12}^* - \frac{i}{2}\Gamma_{12}^*)}}{M_{12} - \frac{i}{2}\Gamma_{12}}, \quad |p|^2 + |q|^2 = 1$$

固有値: 質量 と 幅 ( $\propto$  寿命の逆数)

$$\begin{aligned} \lambda_{H,L} &= m_{H,L} - \frac{i}{2}\Gamma_{H,L} \\ &= M_0 - \frac{i}{2}\Gamma_0 \pm \sqrt{(M_{12} - \frac{i}{2}\Gamma_{12})(M_{12}^* - \frac{i}{2}\Gamma_{12}^*)} \end{aligned}$$

# 状態の時間発展

Schrödinger 方程式の解

$$B^0 \text{ at } t = 0 : |B^0(t)\rangle = g_+(t)|B^0\rangle + \frac{q}{p}g_-(t)|\bar{B}^0\rangle$$

$$\bar{B}^0 \text{ at } t = 0 : |\bar{B}^0(t)\rangle = \frac{p}{q}g_-(t)|B^0\rangle + g_+(t)|\bar{B}^0\rangle$$

$$g_{\pm}(t) = \frac{1}{2}[\exp(-i\lambda_H t) \pm \exp(-i\lambda_L t)]$$

標準模型: ボックスダイアグラム ( $= M_{12} - \frac{i}{2}\Gamma_{12}$ )

$$\Rightarrow |M_{12}| \gg |\Gamma_{12}|$$

$$\Delta m = 2|M_{12}|, \quad \Delta\Gamma = 0 \quad (\Gamma_H = \Gamma_L \equiv \Gamma)$$

$$\frac{q}{p} = \frac{M_{12}^*}{|M_{12}|} = \frac{V_{tb}^* V_{td}}{V_{tb} V_{td}^*} = e^{-2i\phi_1}$$

# 質量差 $\Delta m_q \simeq 2|M_{12}(B_q)| \quad (q = d, s)$

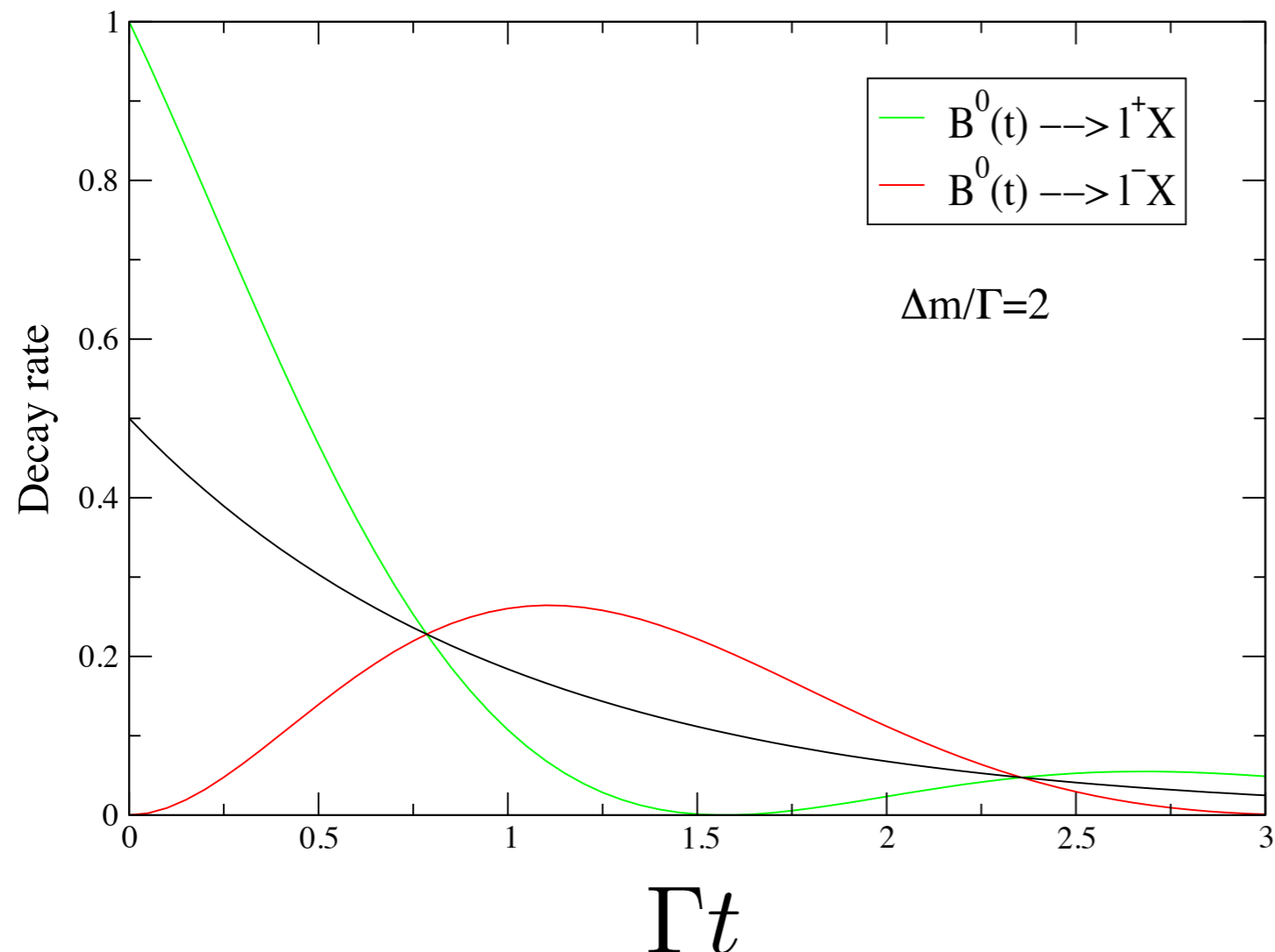
●  $B^0-\bar{B}^0$  混合の測定

レプトンタグ:  $B^0 \rightarrow l^+ X, \bar{B}^0 \rightarrow l^- X$

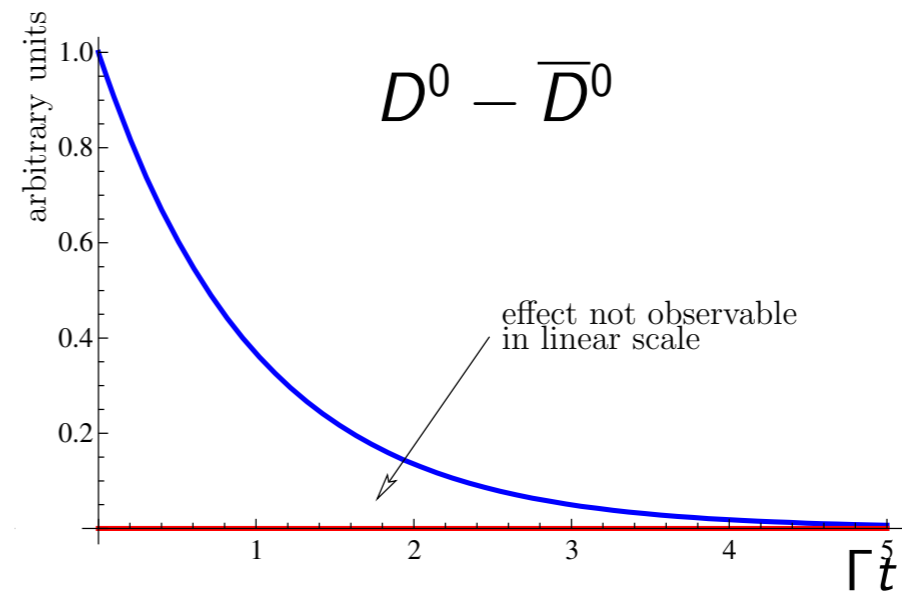
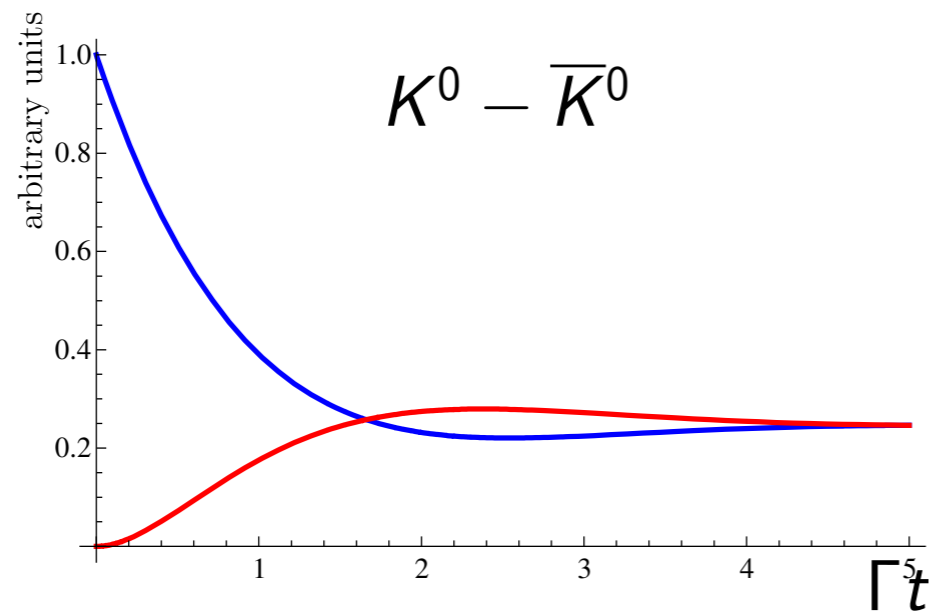
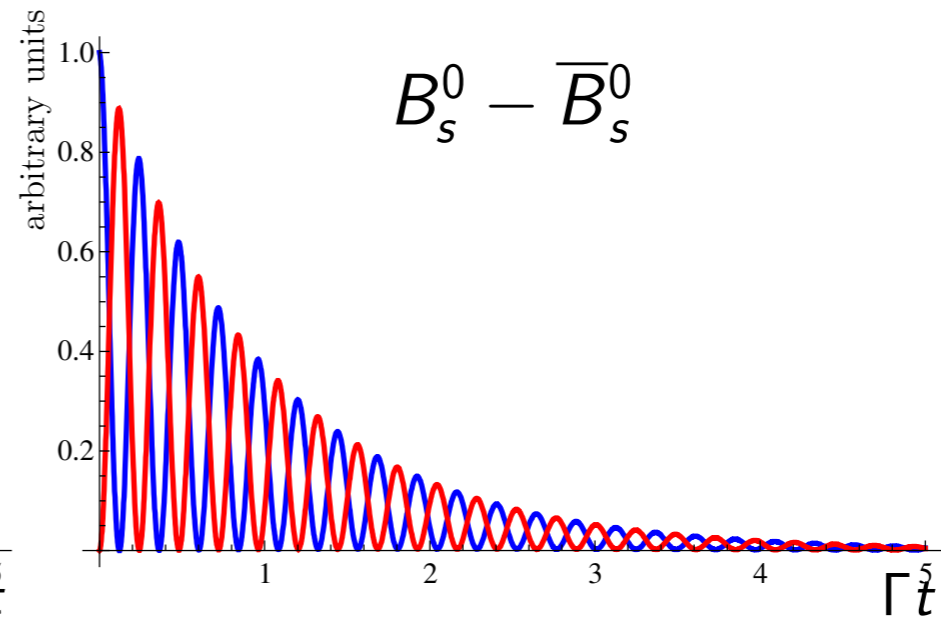
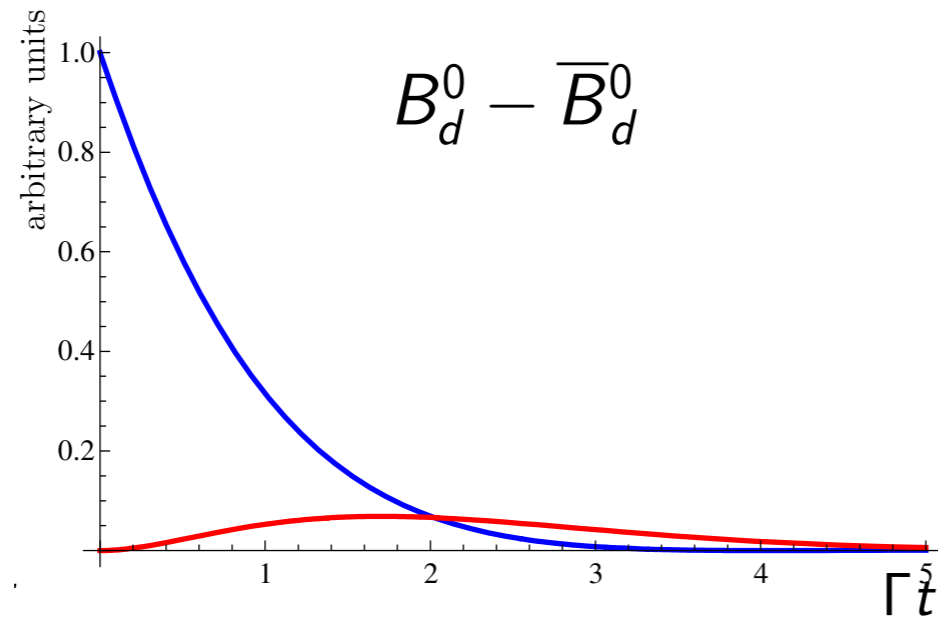
時間の関数としての崩壊確率

$$\Gamma(B^0(t) \rightarrow l^+ X) \propto e^{-\Gamma t} (1 + \cos \Delta m t)$$

$$\Gamma(B^0(t) \rightarrow l^- X) \propto e^{-\Gamma t} (1 - \cos \Delta m t)$$



実験値:  $\Delta m_d = 0.507 \pm 0.004 \text{ ps}^{-1}$   
 $\Delta m_s = 17.77 \pm 0.10 \pm 0.07 \text{ ps}^{-1}$



# CP非対称性

$$\Gamma(B^0(t) \rightarrow f) \propto 1 + |\lambda_f|^2 \begin{array}{l} + \\ + \end{array} \begin{array}{l} (1 - |\lambda_f|^2) \cos \Delta m t \\ 2 \operatorname{Im} \lambda_f \sin \Delta m t \end{array}$$

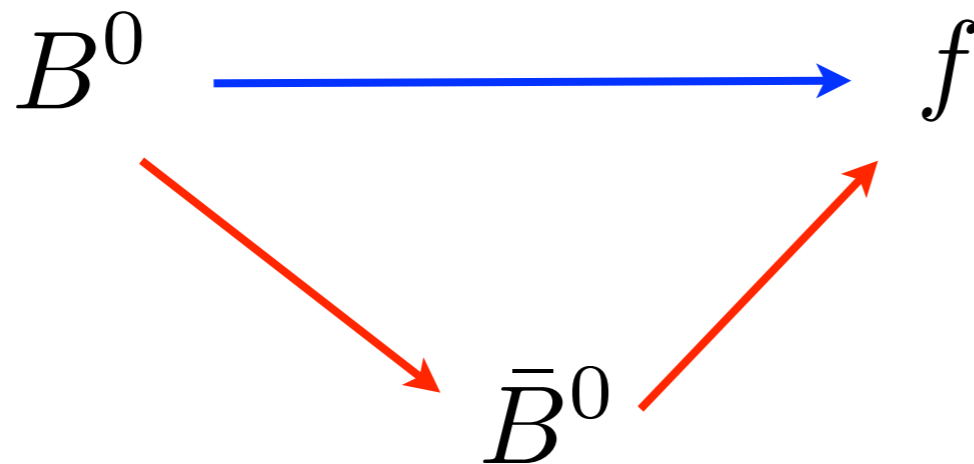
$$\Gamma(\bar{B}^0(t) \rightarrow f) \propto 1 + |\lambda_f|^2 \begin{array}{l} - \\ - \end{array} \begin{array}{l} (1 - |\lambda_f|^2) \cos \Delta m t \\ 2 \operatorname{Im} \lambda_f \sin \Delta m t \end{array}$$

$$\lambda_f = \frac{q}{p} \frac{\langle f | \bar{B}^0 \rangle}{\langle f | B^0 \rangle} \simeq \frac{M_{12}^*}{|M_{12}|} \frac{\langle f | \bar{B}^0 \rangle}{\langle f | B^0 \rangle}$$

$$\begin{aligned} A_f &= \frac{\Gamma(\bar{B}^0(t) \rightarrow f) - \Gamma(B^0(t) \rightarrow f)}{\Gamma(\bar{B}^0(t) \rightarrow f) + \Gamma(B^0(t) \rightarrow f)} \\ &= S_f \sin \Delta m t - C_f \cos \Delta m t \end{aligned}$$

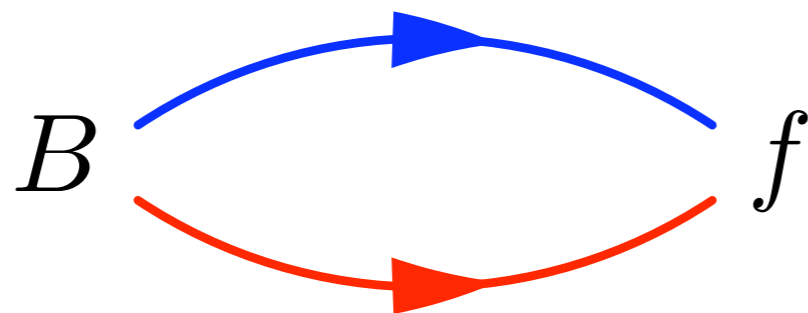
$$S_f = -\frac{2 \operatorname{Im} \lambda_f}{1 + |\lambda_f|^2}$$

Mixing-induced CPV



$$C_f = \frac{1 - |\lambda_f|^2}{1 + |\lambda_f|^2}$$

Direct CPV



Bファクトリー:  $t = 0, \Upsilon(4S) \rightarrow B^0 \bar{B}^0$

$t = t_1$  で  $B_1 \rightarrow f_1$ ,  $t = t_2$  で  $B_2 \rightarrow f_2$

一方をタグ

$f_1 = \bar{B}^0, f_2 = f$  (e.g.  $\psi K_s$ ),  $t_1 + t_2$  で積分 ( $\tau \equiv t_2 - t_1$ )

$$\Gamma(\bar{B}^0, f; \tau) = \frac{|A|^2}{2} e^{-\Gamma|\tau|} \left[ 1 + |\lambda_f|^2 + (1 - |\lambda_f|^2) \cos \Delta m \tau \right. \\ \left. + 2\text{Im}\lambda_f \sin \Delta m \tau \right]$$

$f_1 = B^0, f_2 = f$

$$\Gamma(B^0, f; \tau) = \left| \frac{p}{q} \right|^2 \frac{|A|^2}{2} e^{-\Gamma|\tau|} \left[ 1 + |\lambda_f|^2 - (1 - |\lambda_f|^2) \cos \Delta m \tau \right. \\ \left. - 2\text{Im}\lambda_f \sin \Delta m \tau \right]$$



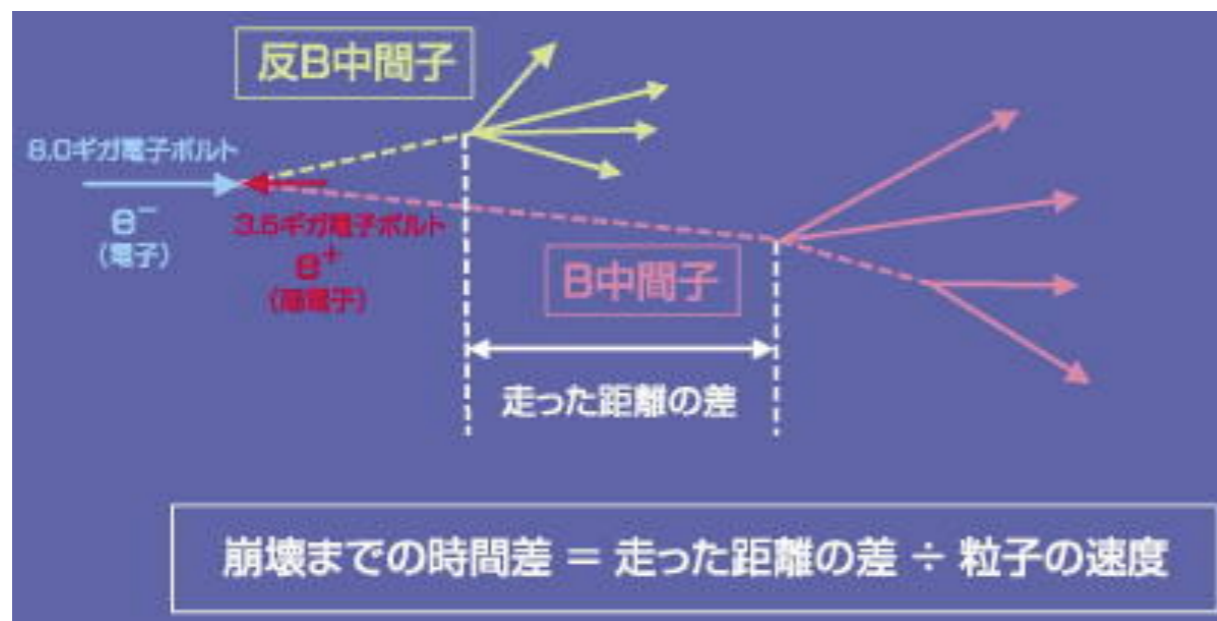
対称コライダー：崩壊時刻を測定できない。

⇒  $\tau$  で積分することになる。

$$\int_{-\infty}^{\infty} d\tau e^{-\Gamma|\tau|} \sin \Delta m \tau = 0$$

CP 非対称性が消える！

非対称コライダー： $B^0 \bar{B}^0$  が走っている。



$$z \sim c\beta\gamma\hbar/\Gamma \simeq 200 \mu\text{m}$$

時間依存性から CP 非対称性を見ることができる。

$$f = J/\psi K_S \text{ (CP odd)}$$

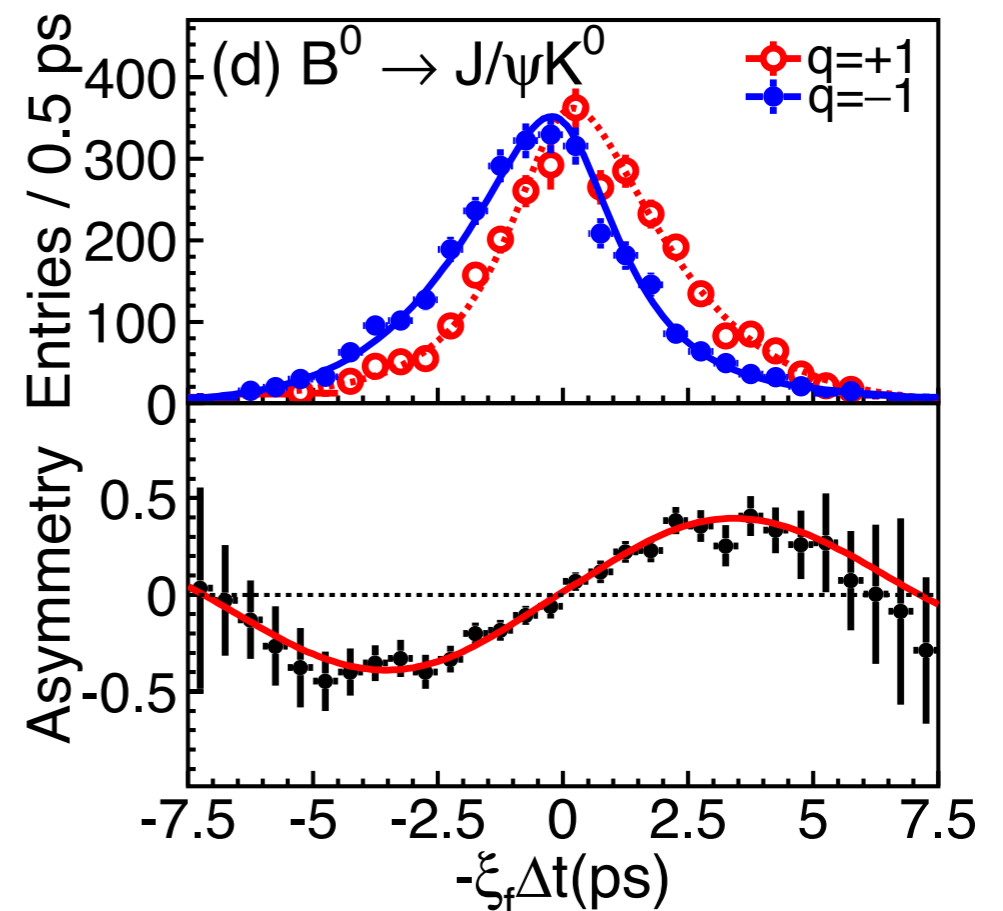
$$\lambda_{J/\psi K_S} = \frac{M_{12}^*}{|M_{12}|} = \frac{V_{tb}^* V_{td}}{V_{tb} V_{td}^*} = e^{-2i\phi_1}$$

$$S_{J/\psi K_S} = \sin 2\phi_1$$

$$C_{J/\psi K_S} = 0$$

実験値

$$\sin 2\phi_1 = 0.676 \pm 0.020$$

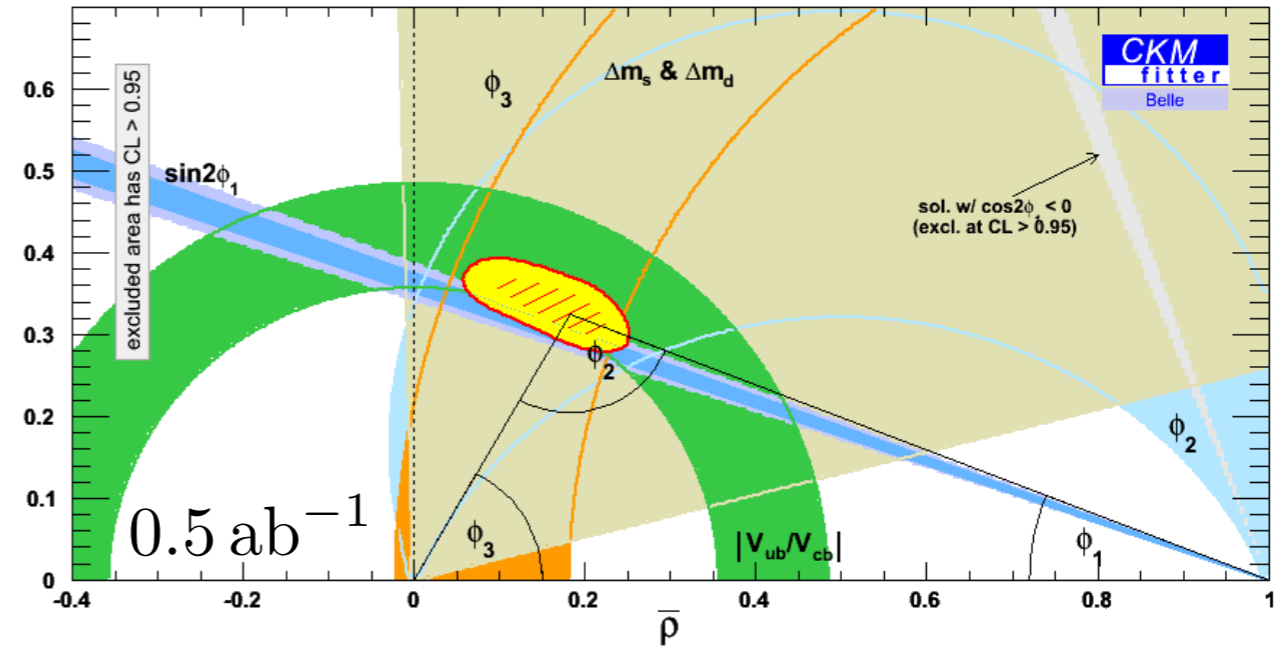


# スーパーBファクトリーが 目指す物理

# UTの精密測定

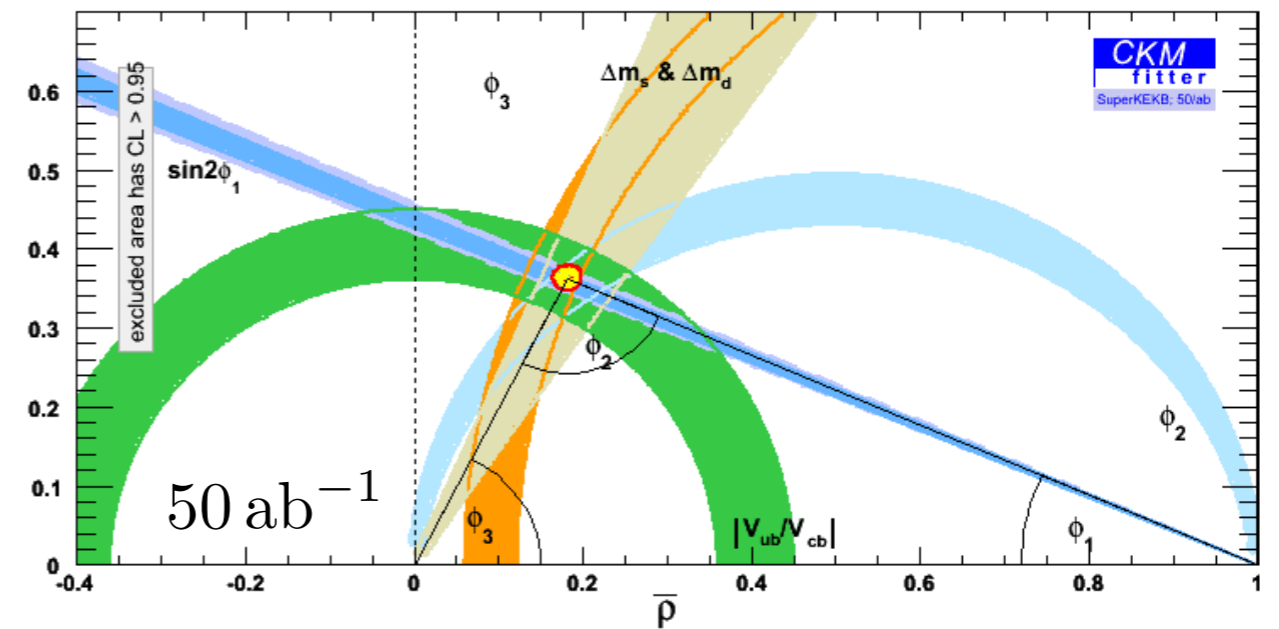
Bファクトリー

~10%

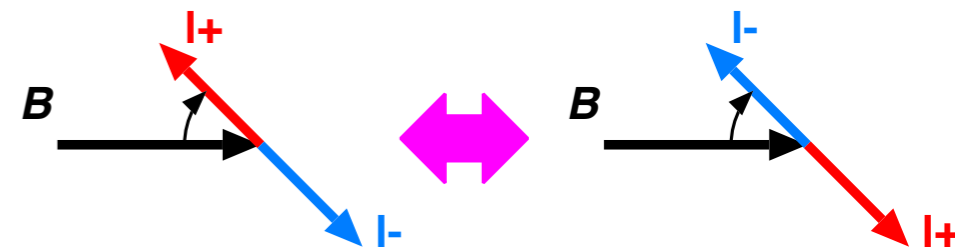


スーパーBファクトリー

~1%

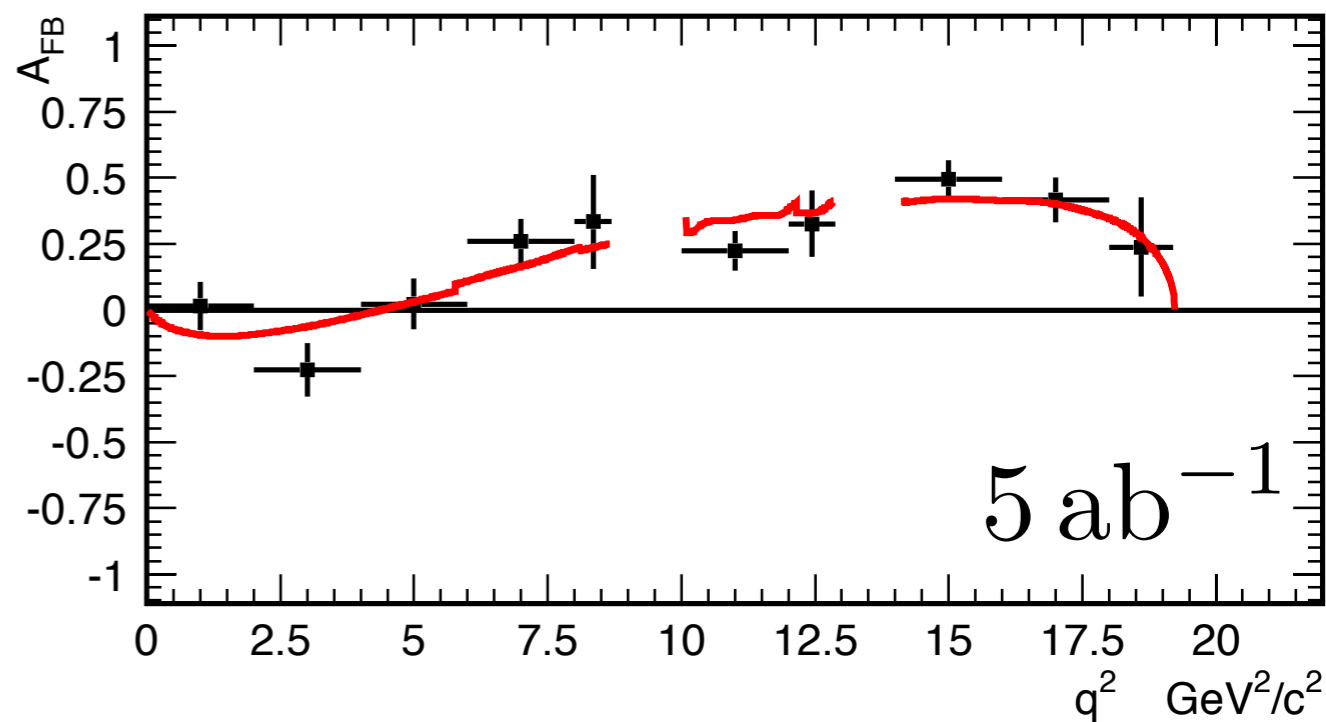
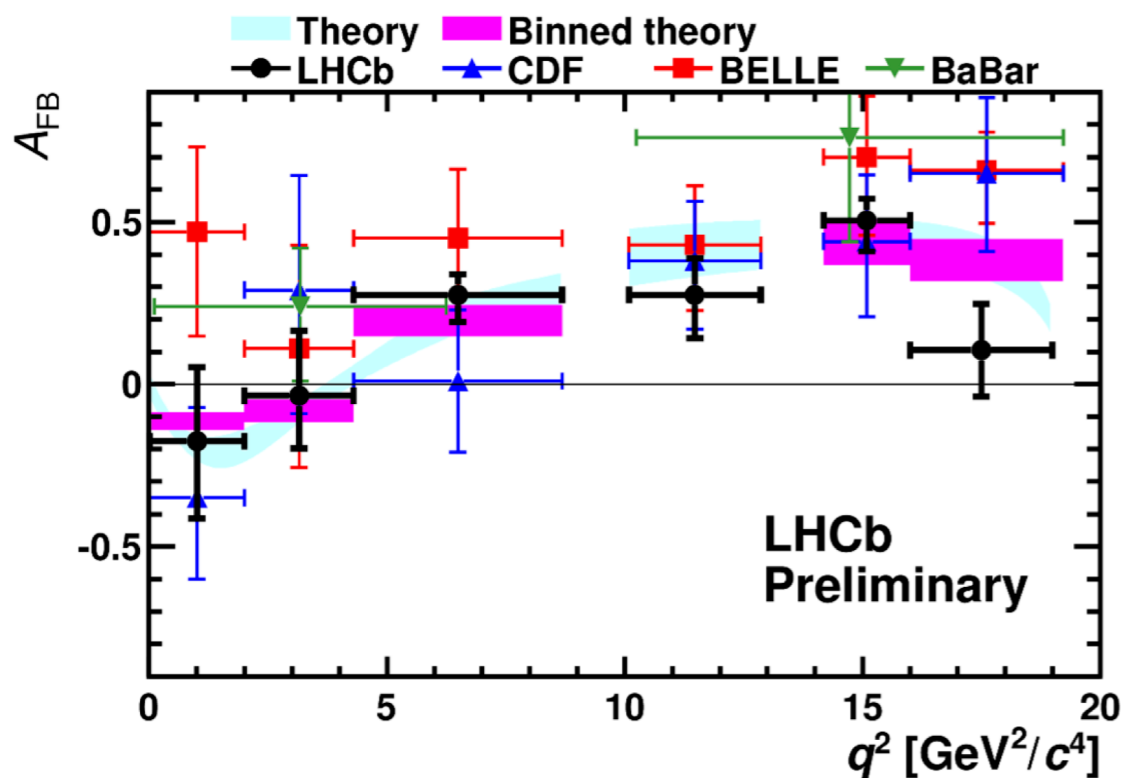


# $B \rightarrow K^* \ell^+ \ell^-$ の前後非対称性

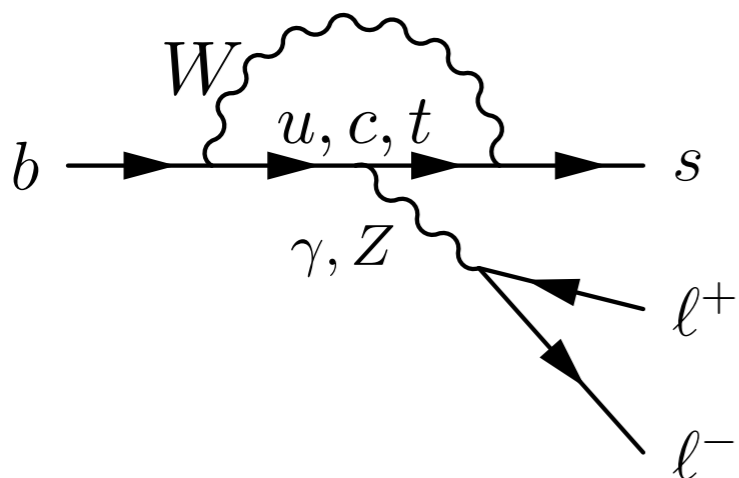


2011

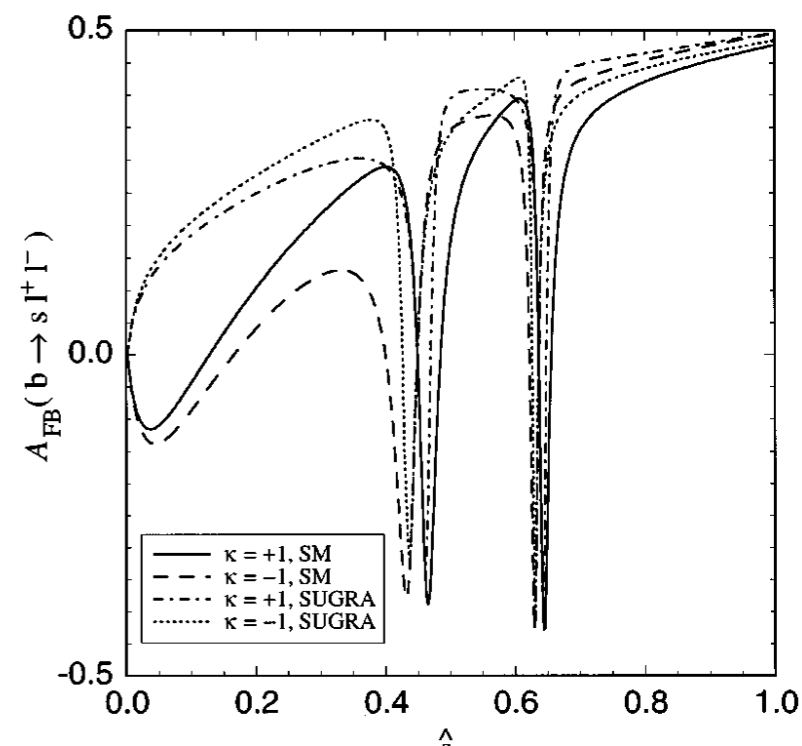
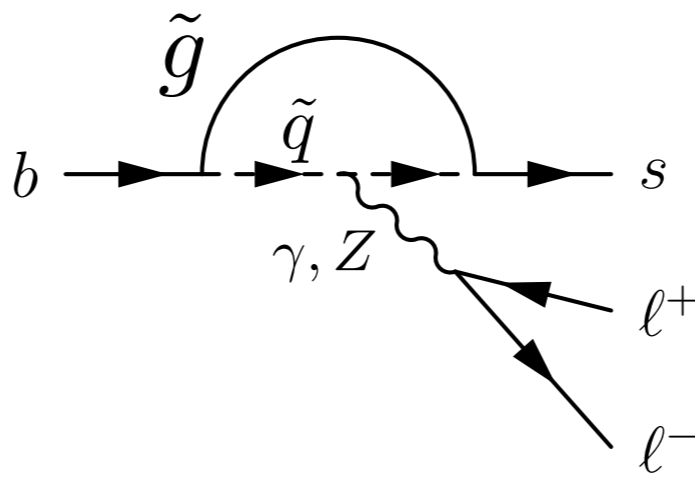
スーパーBファクトリー



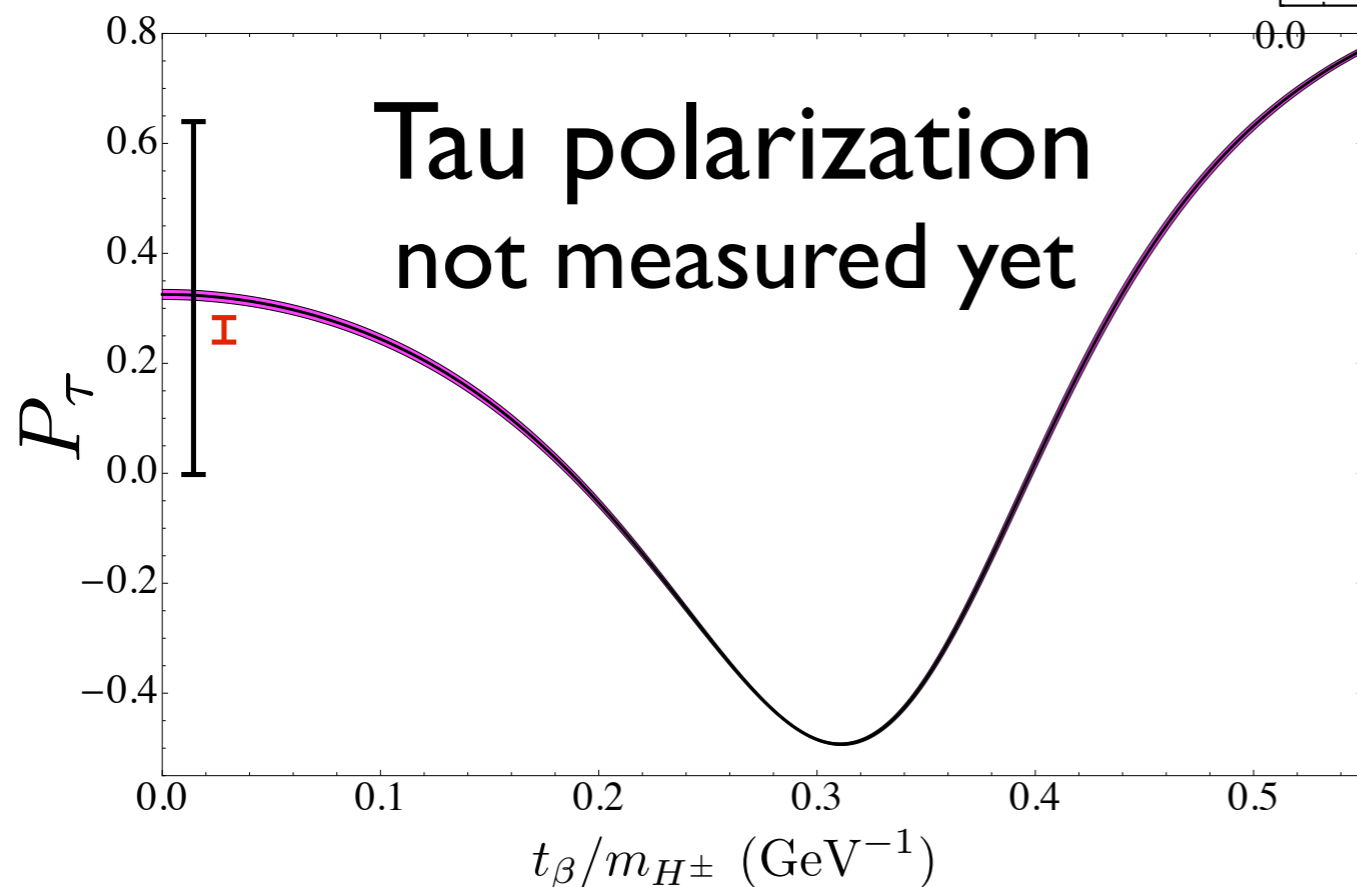
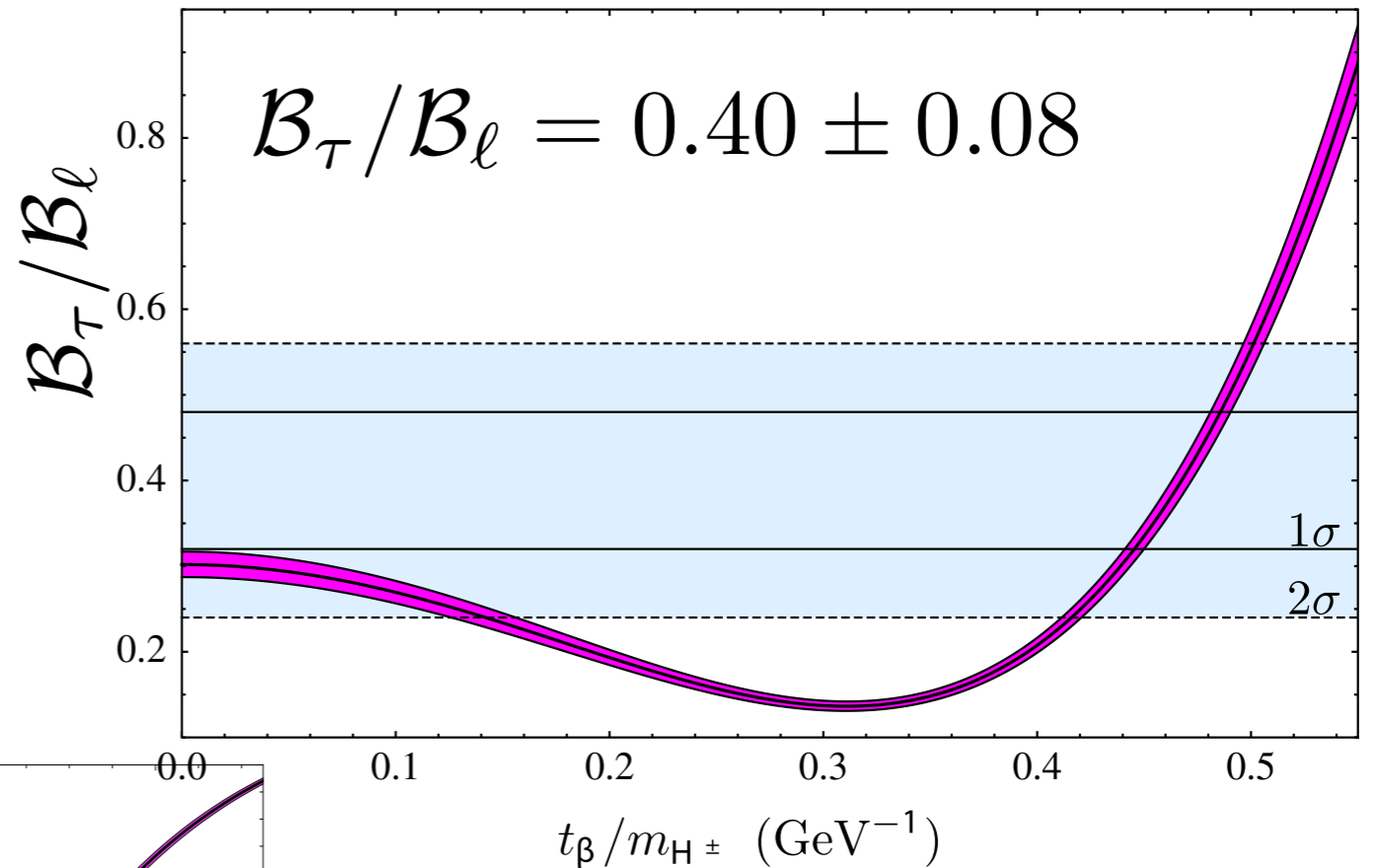
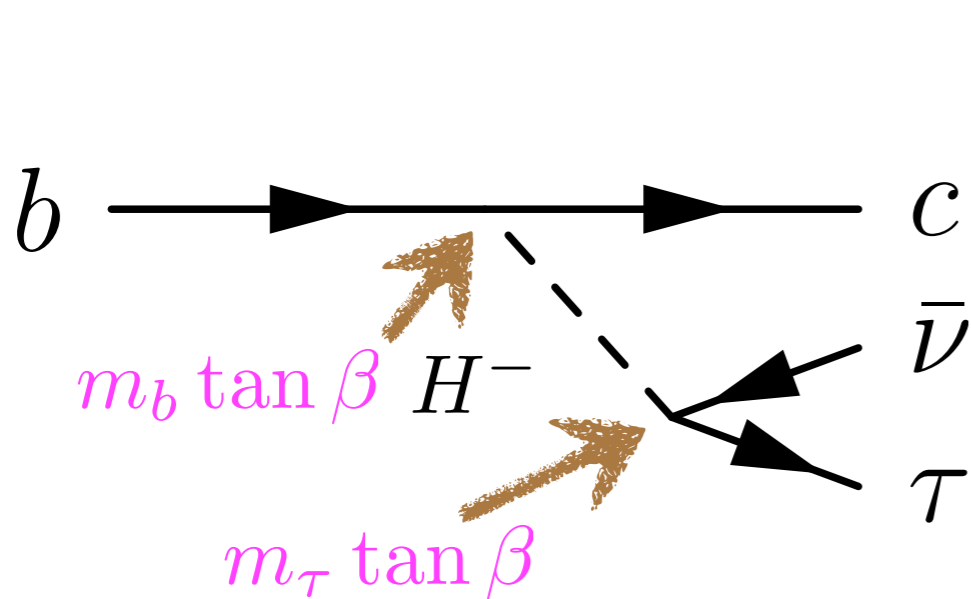
標準模型



超対称模型



# B → DTVにおける荷電ヒッグス粒子の効果

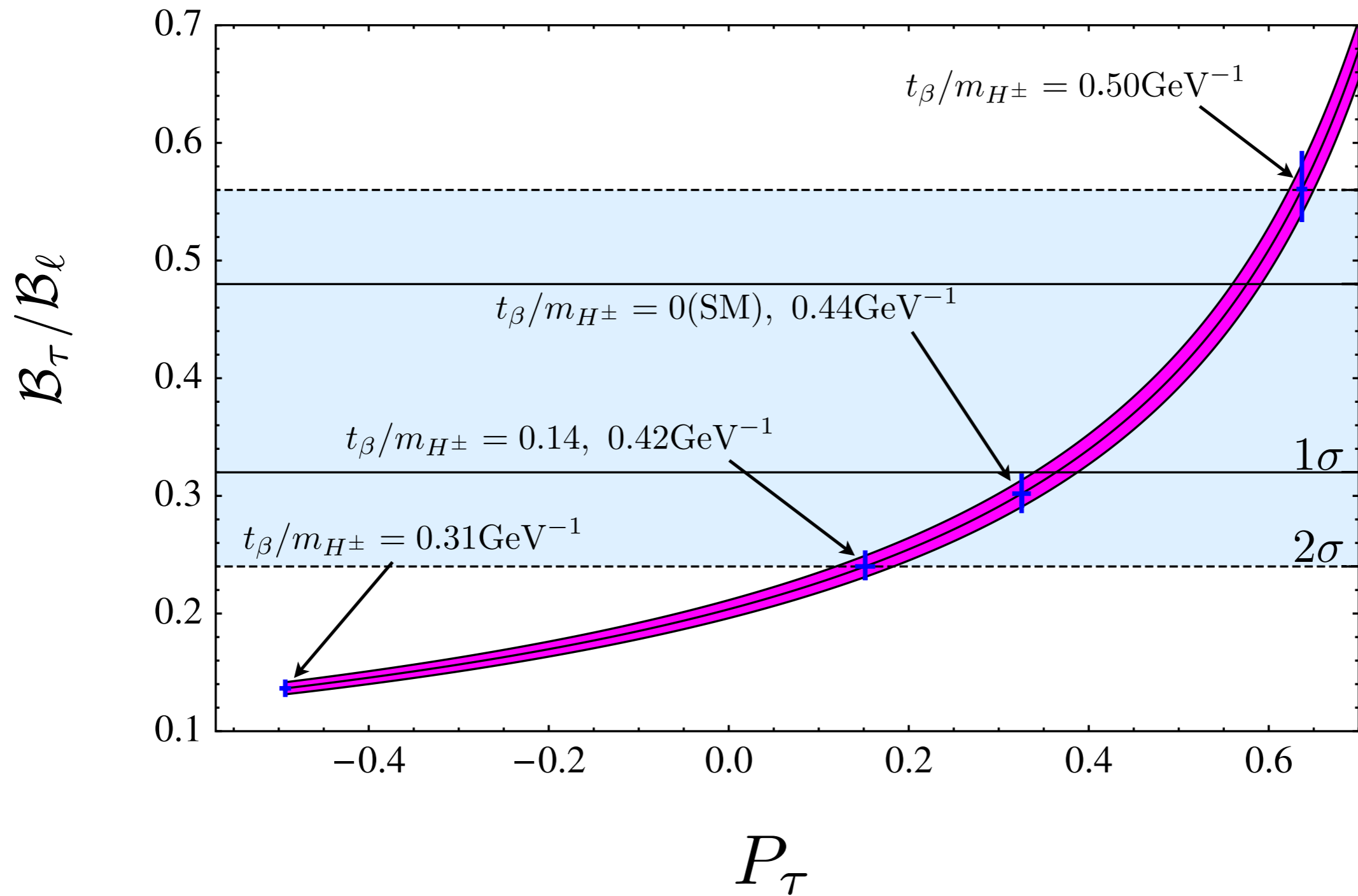


MT, R. Watanabe (2010)

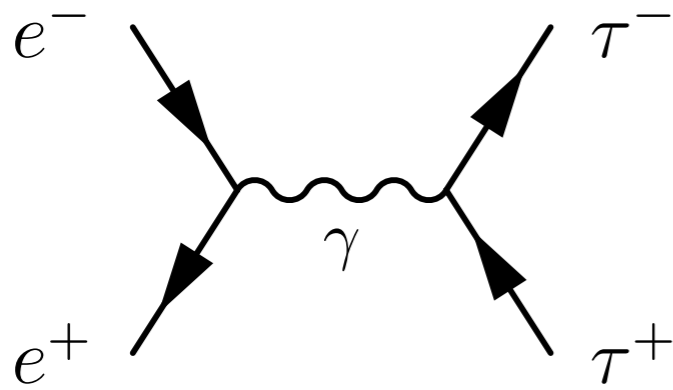
**Belle**       $\delta P_\tau \sim 0.3$

**Belle II**     $\delta P_\tau \sim 0.04$

# BR and tau pol.

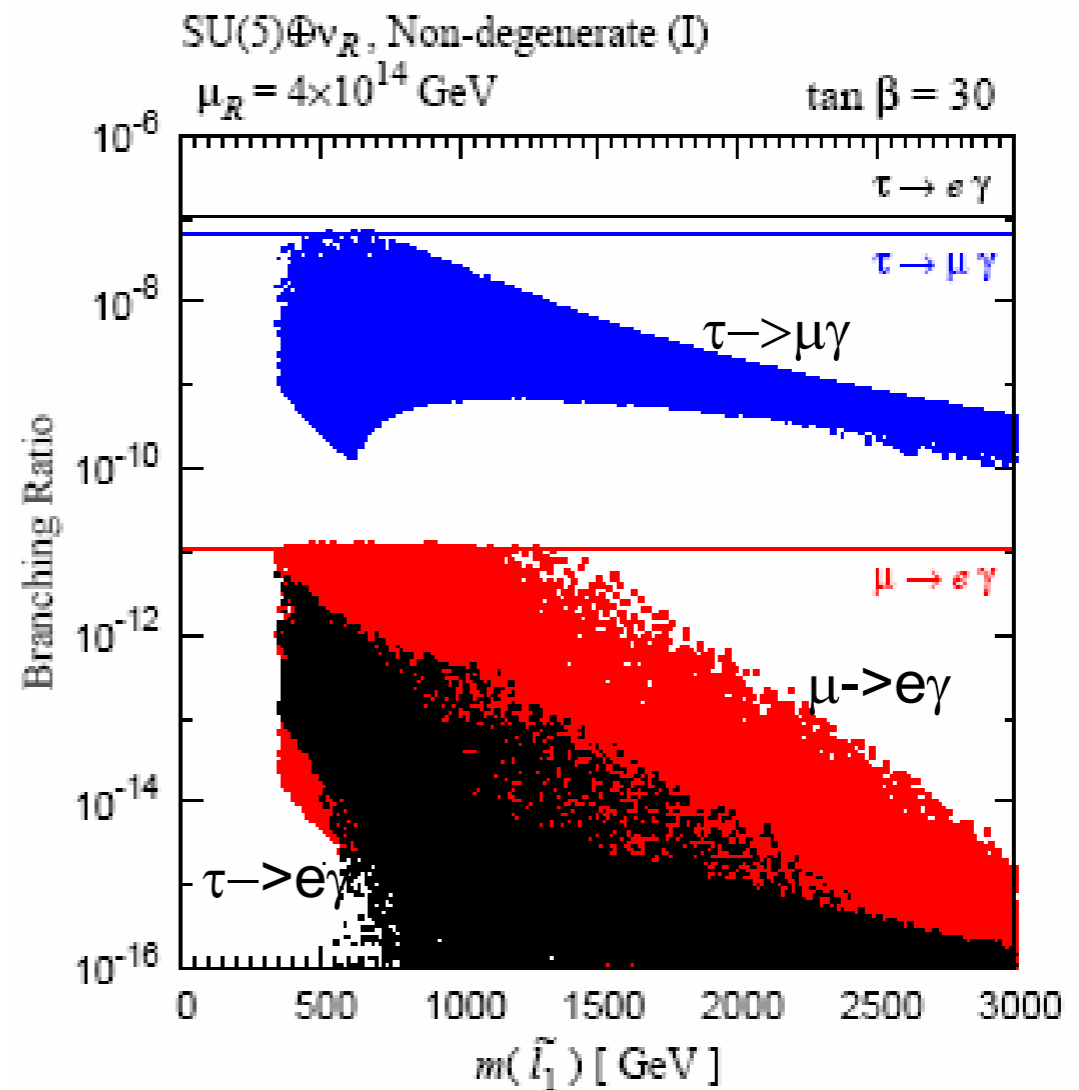
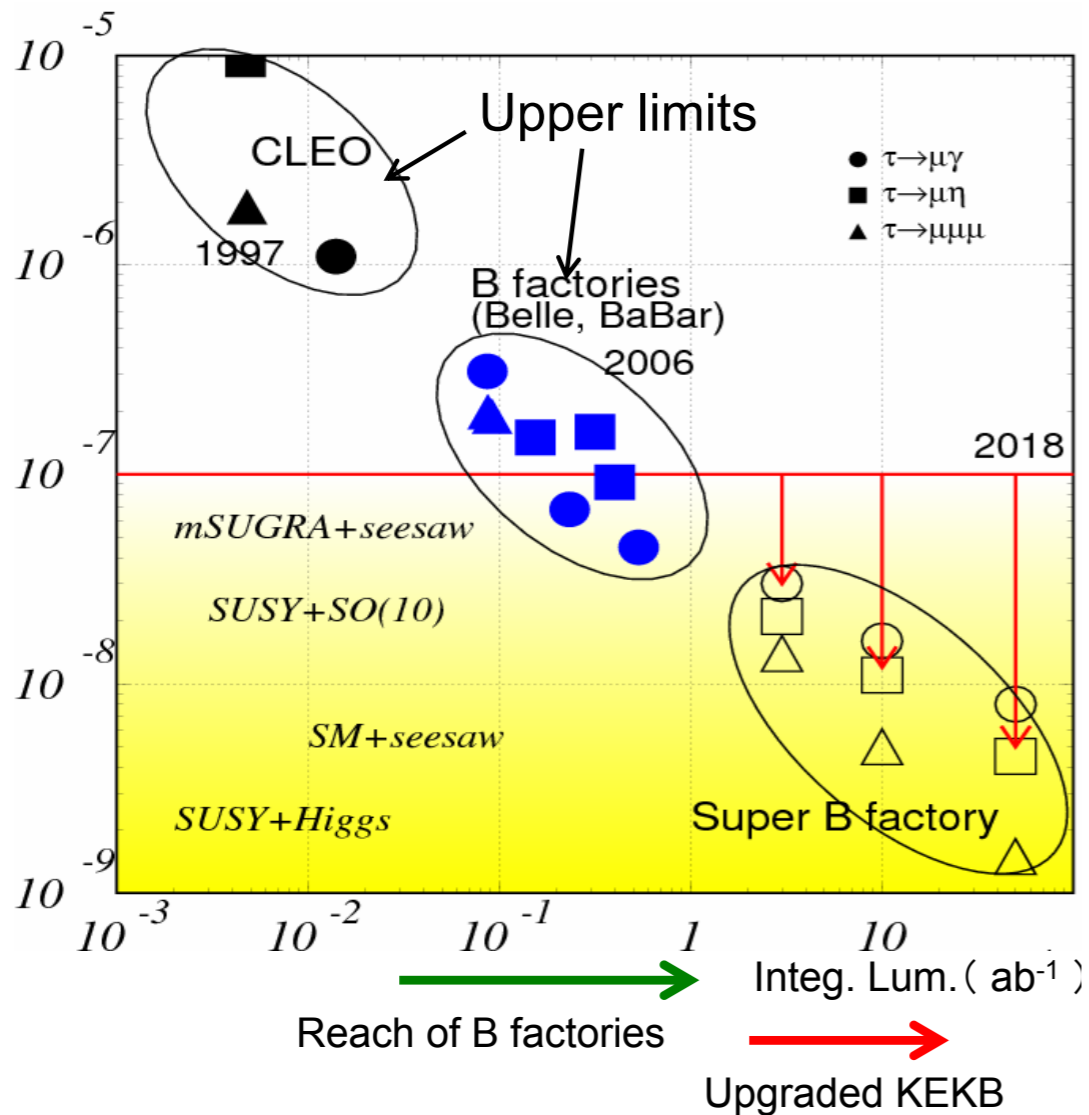


# タウファクトリーとしてのスーパーBファクトリー



$O(10^{11})$ 個のタウを生成

$\tau \rightarrow \mu\gamma$  標準模型では禁止



## 超対称模型



# まとめ

- ★ (スーパー)Bファクトリー  
走っているB中間子ペアを多数作る。  
(タウもたくさんできる。)
- ★ 走っているBの崩壊⇒崩壊時刻がわかる。  
B中間子混合、CP非対称性
- ★ Bファクトリー：～10%の精度でKMを検証  
スーパーBファクトリー：～1%
- ★ 標準模型を越える新しい物理  
宇宙のバリオン数⇒未知のCPの破れ？  
ダークマター⇒未知の素粒子？  
超対称性？ 余剰次元？  
フレーバーの謎